

Hovedopp 1970: Fol 2

U. B. L.  
Ms. Rb 480 2.

UNIVERSITETSBIBLIOTEKET I BERGEN  
Mat.-nat.fak.bibl.  
Johannes Brunsgt. 12  
5008 BERGEN

DEGLASIASJONSFORLÖPET PÅ DEN SYDVESTLIGE DEL AV  
FOLGEFONNHALVÖYA.

av

Björn Andreas Follestad

Del II - Illustrasjonsbind

Vedlagt:

Del I - Tekstbind

Del III - 4 plansjer

Hovedfagsoppgave i kvartærgeologi og geomorfologi  
ved Universitetet i Bergen vårsemesteret 1970.

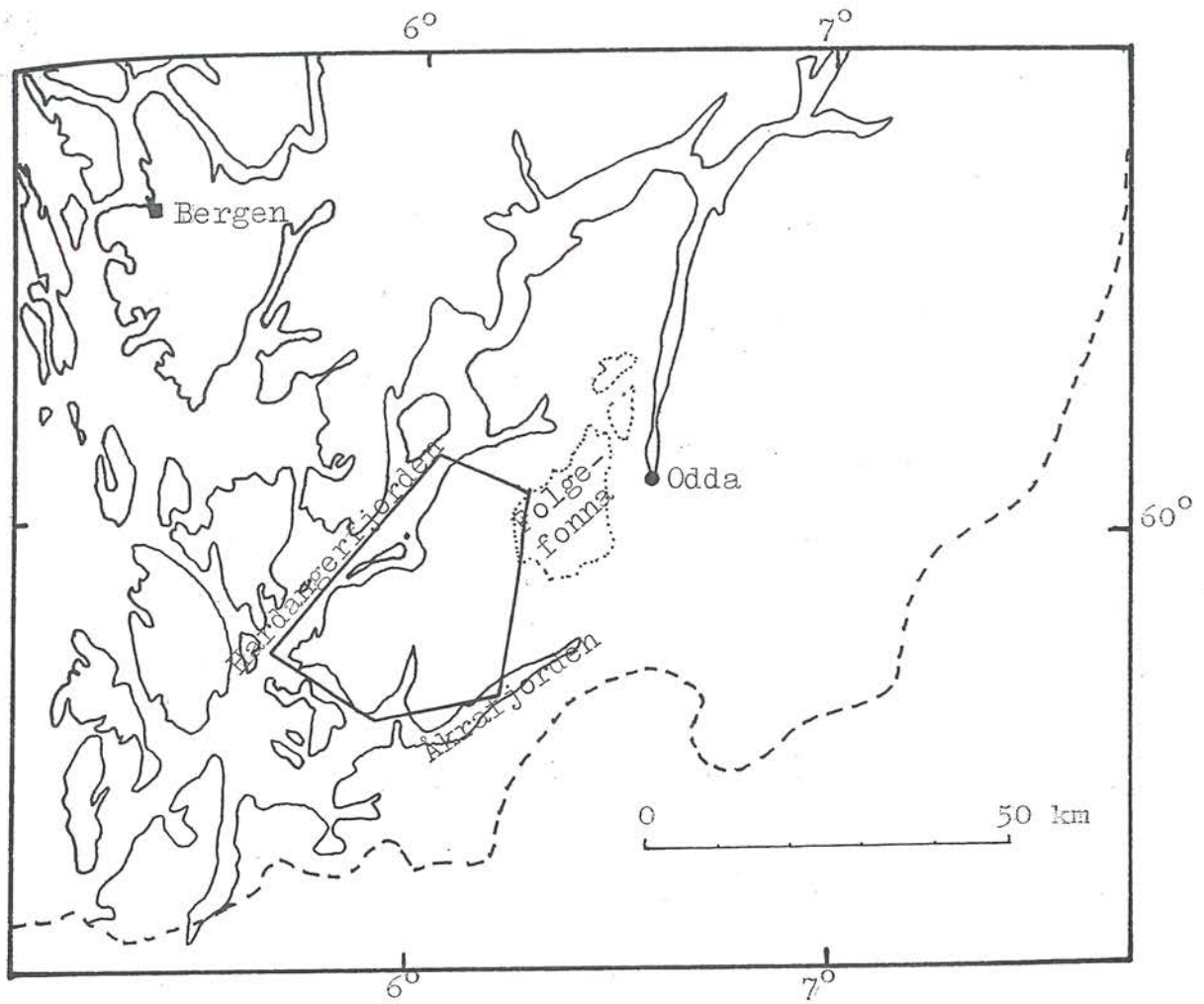


Fig. 1. Nøkkelkart over det undersøkte område.  
(Målestokk 1 : 1 mill.)

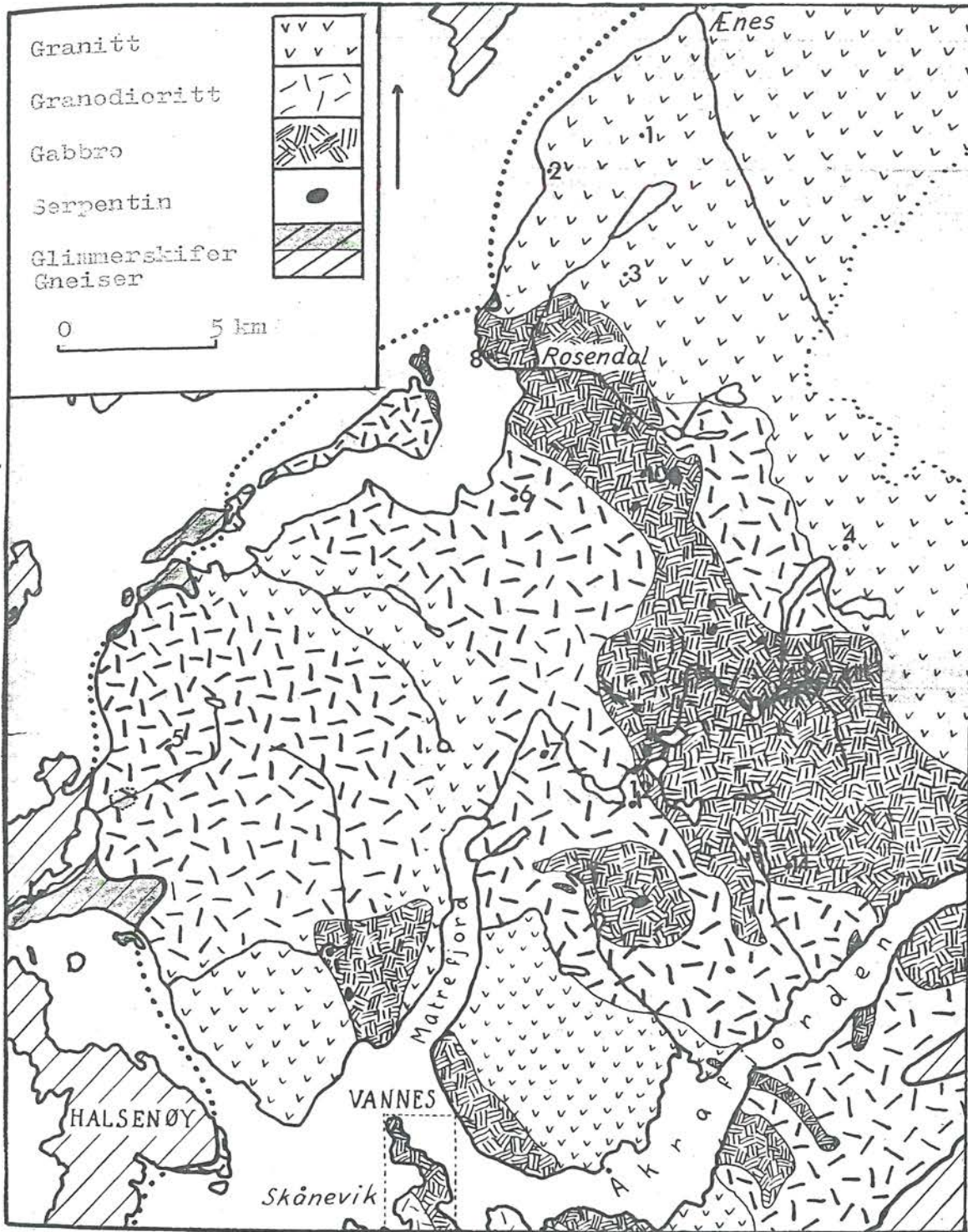


Fig. 2. Berggrunnen på den SV-lige del av Følgefonnahalvøya etter Rekrstad (1907b), N.-H. Kolderup (1932, 1941) og Mortensen (1942), tegnet av E. Irgens.

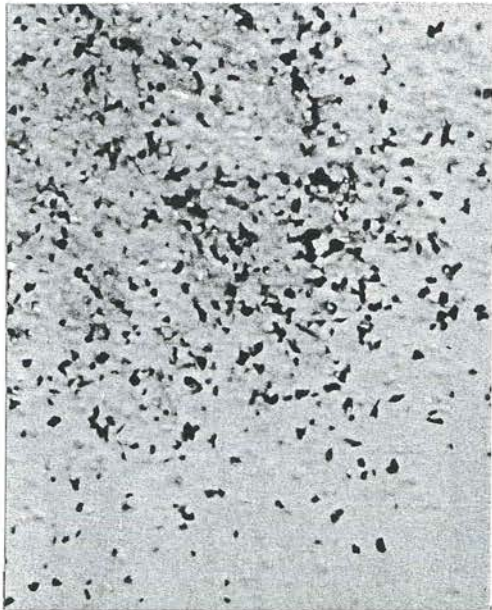
Tall angir formalte bergartsprøver og refererer til tabell 1.



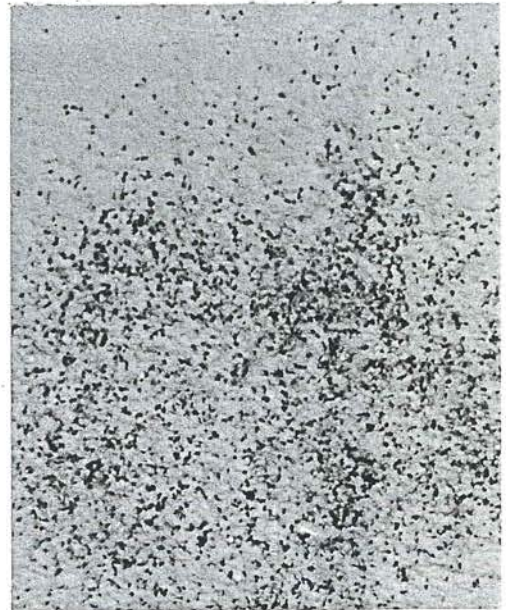
Fraksjon 500my.



Fraksjon 250my.



Fraksjon 125my.



Fraksjon 63my.

Fig. 3. Formalt, siktet prøve av grovkornet Melderskinsgranitt. Biotitt (mørke korn) er ved formaling skilt fra feltspat-kvartskorn.

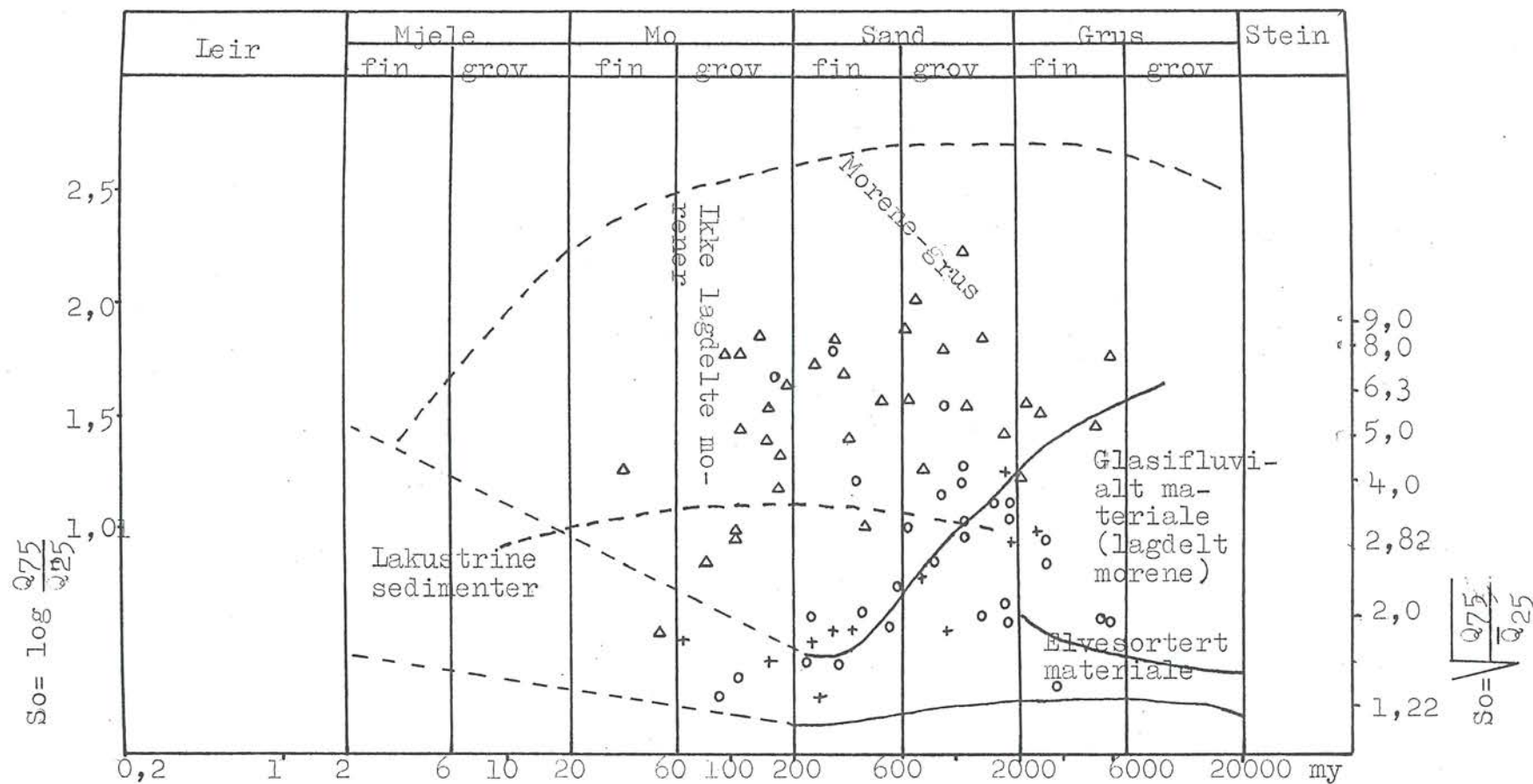
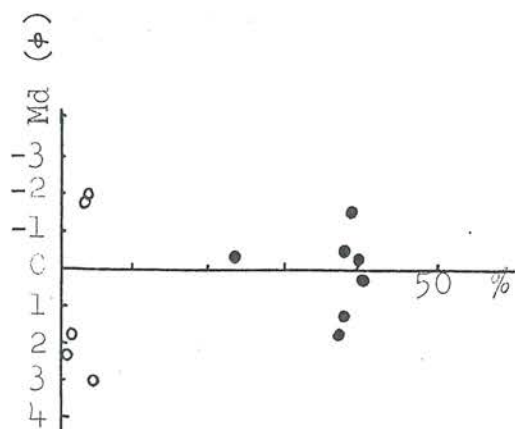
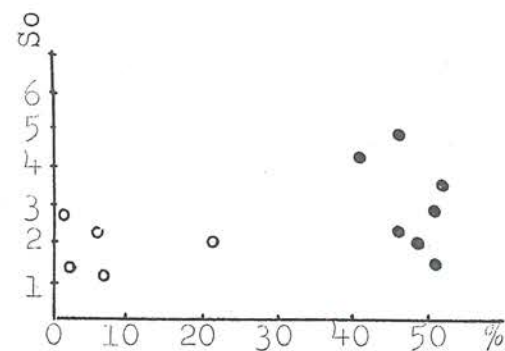
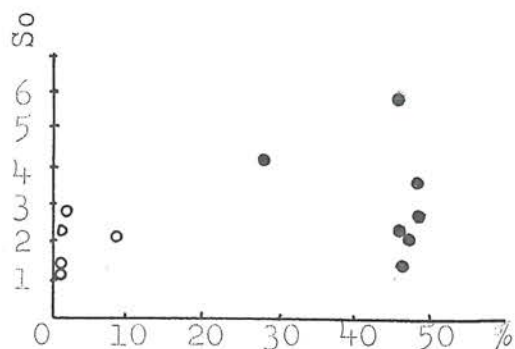
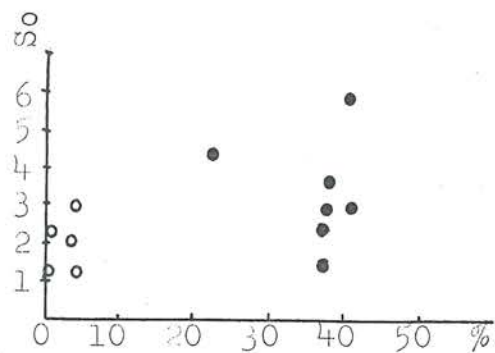
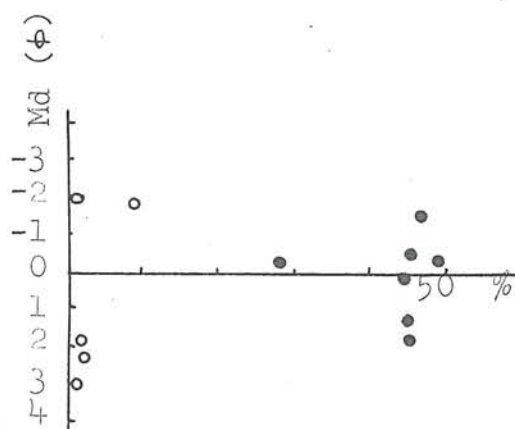


Fig. 4. Md-So diagram over kornfordelingsanalysene. Noen av Selmer-Olsens (1954) begrensninger for variasjon i Md og So i norske jordarter er angitt, etter Mangerud (1963, s. 249)

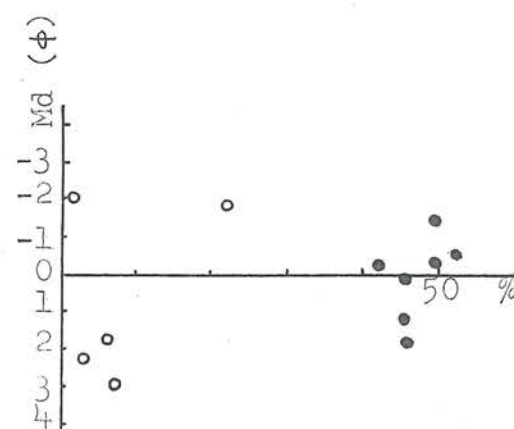
- △ morenemateriale
- glasifluvialtmateriale
- + fluvialtmateriale



Fraksjon 250-500my



Fraksjon 125-250my



Fraksjon 63-125my

Fig. 5. Variasjon sortering/tungmineralprosent og median/tungmineralprosent. • prøve 5-7-8-10-11 (Sandvoll), • prøve 51-57 (Guddal/Waterstad).

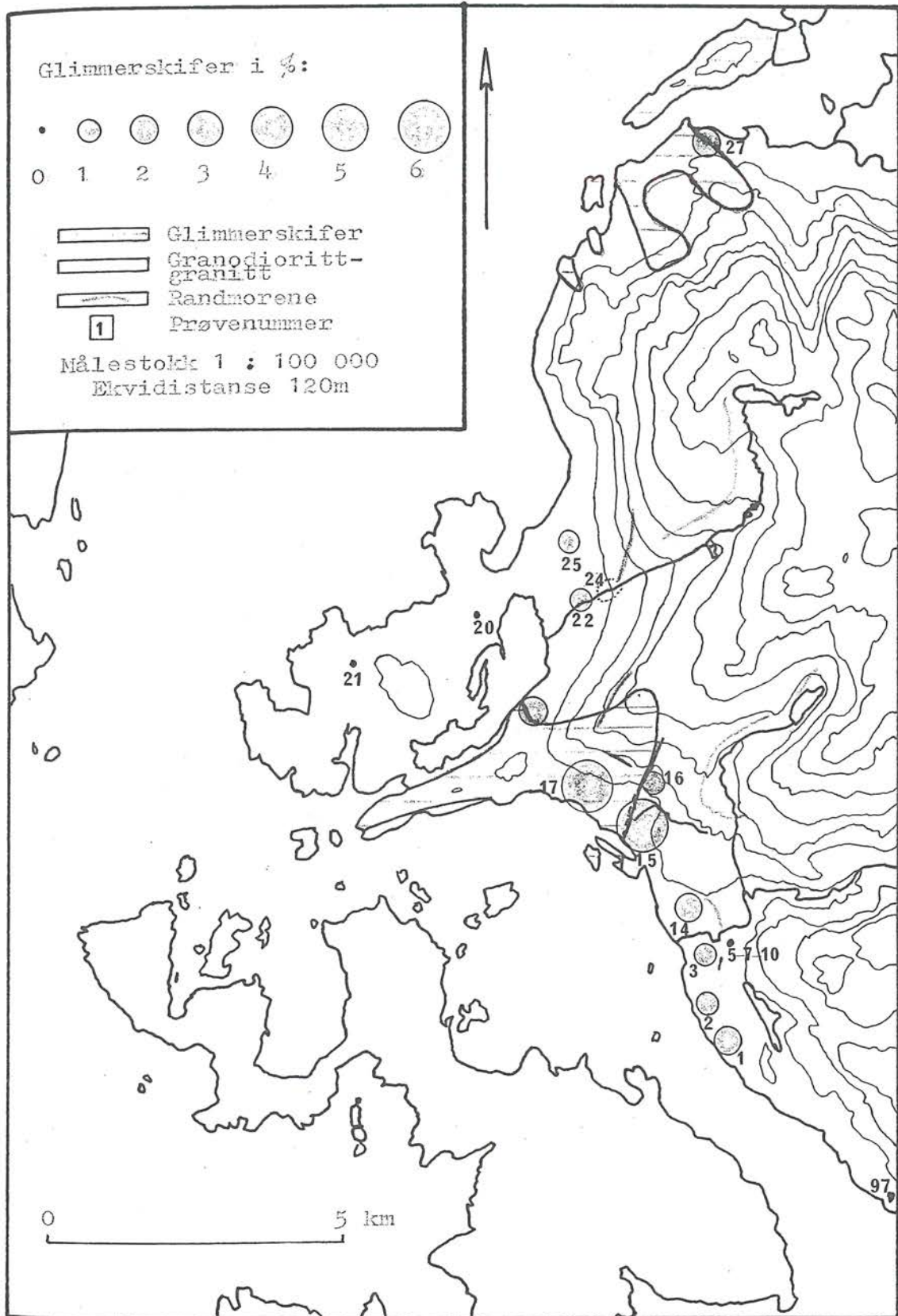


Fig. 6. Spredning av glimmerskifer i fraksjon 1-2mm.  
Numrene refererer til tabell 5.

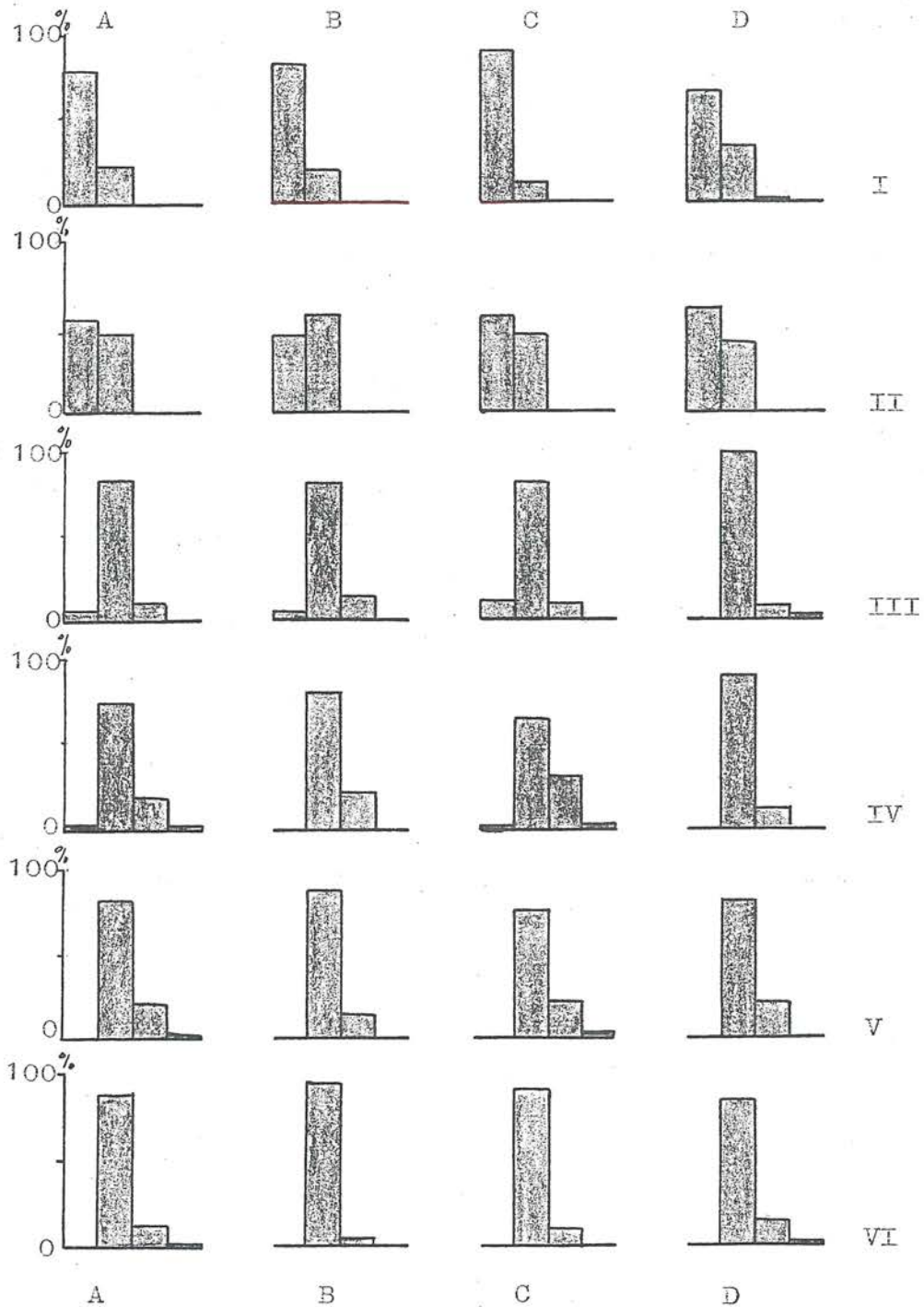


Fig. 7. Rundingsanalyser, en sammenlikning mellom noen prøvers totalhistogram og histogrammene av de enkelte bergarter i samme prøve.

- A: Analysens totalhistogram.
- B: Histogram for grovkornet Melderskinsgranitt.
- C: Histogram for andre granitter/granodioritter.
- D: Histogram for gabbroide bergarter.

(I og II morenemateriale; III, IV, V og VI glasi-fluviale avsetninger)

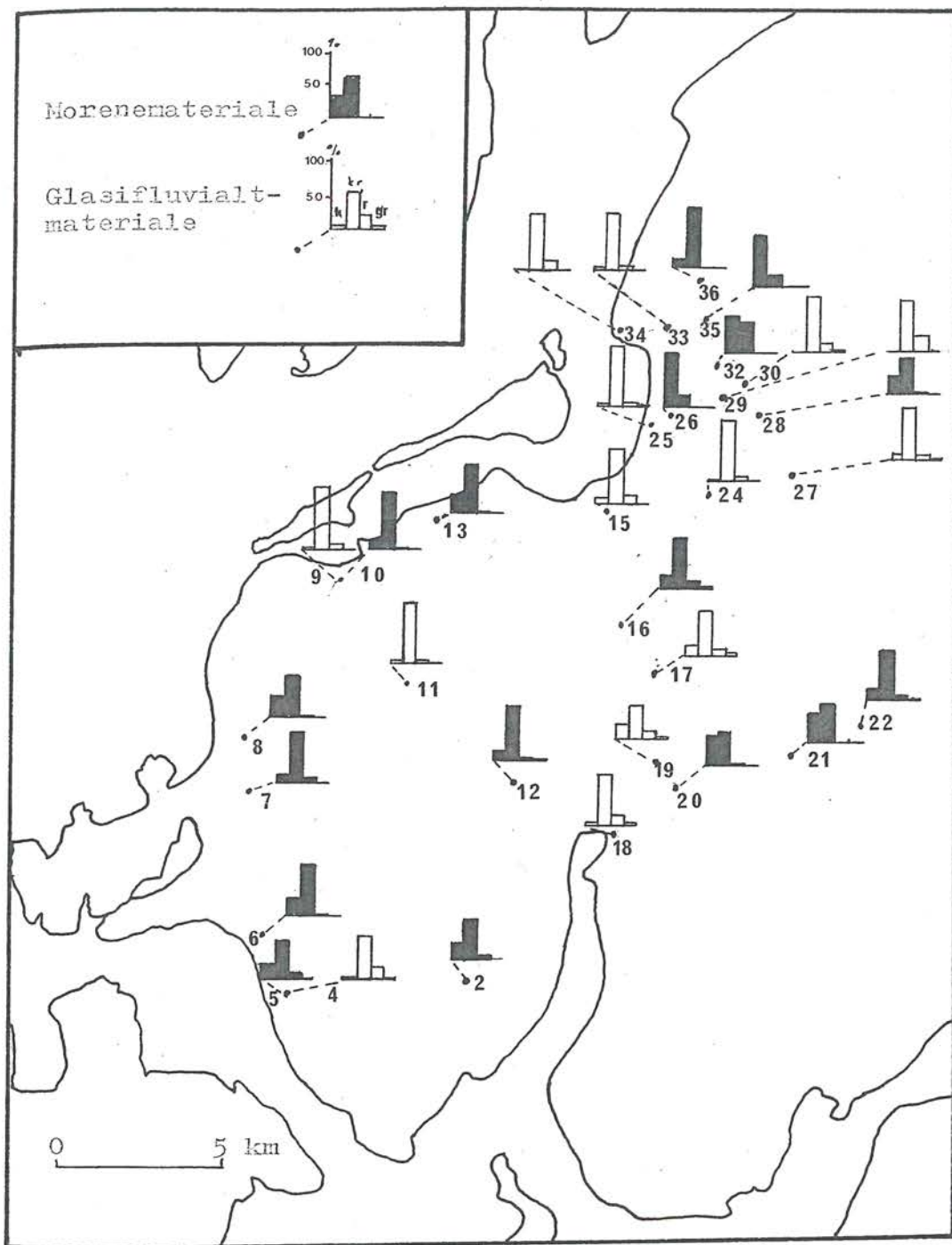


Fig. 8. Rundingsanalyser med lokalitetsangivelse.  
Numrene refererer til tabell 7.

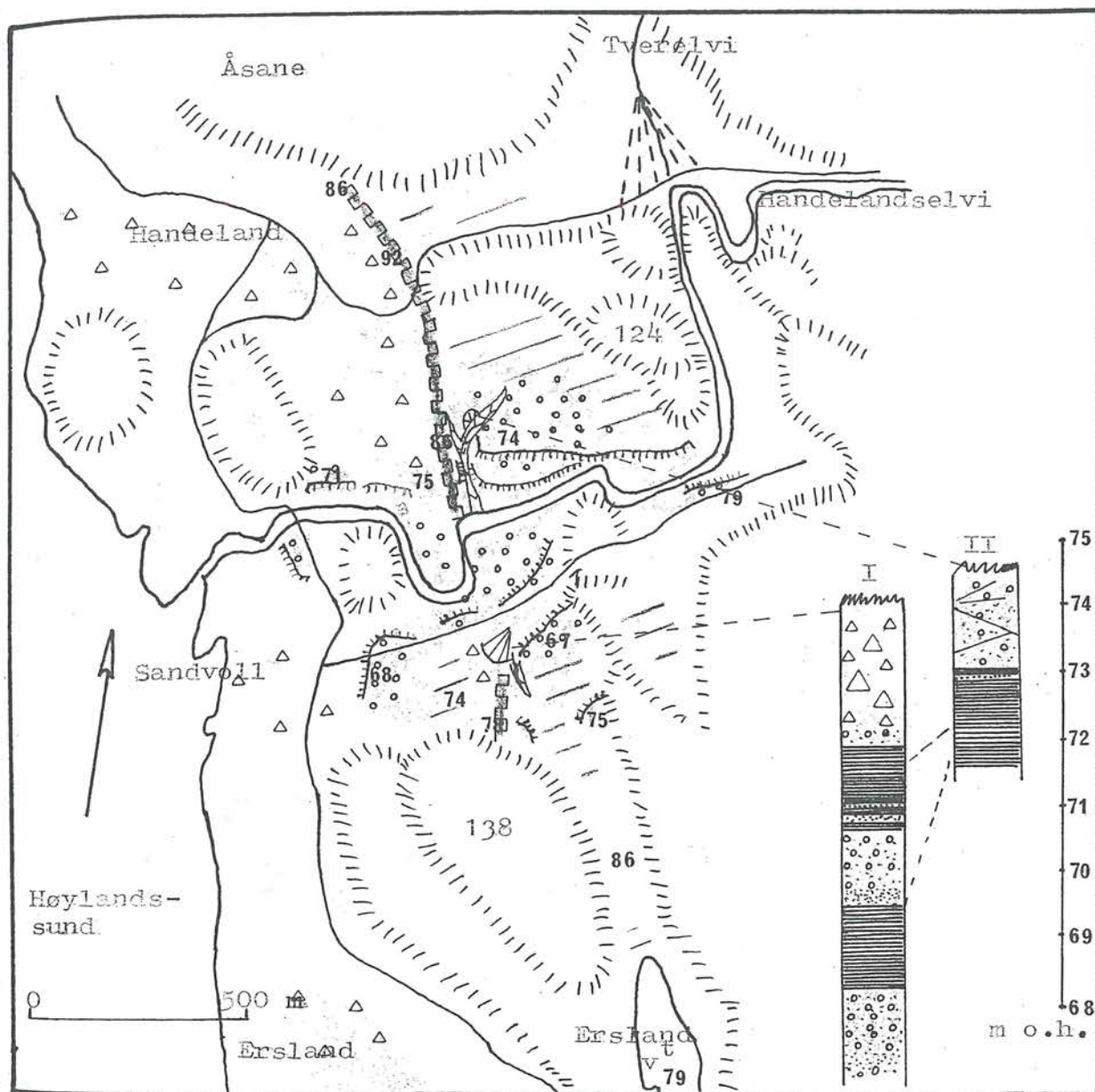


Fig. 9. Skisse over Handeland-Sandvollsområdet (grunnlag: Widerøes flybilder i målestokk ca. 1 : 15 000).

- |   |                                |   |                                    |
|---|--------------------------------|---|------------------------------------|
|  | Snitt                          |  | Morenemateriale                    |
|  | Fluvialt nedskåret renne       |  | Glasifluvialt (fluvialt) materiale |
|  | Vifte                          |  | Myr-lynghumus                      |
|  | Terrasseskråning, erosjonskant |  | Bart fjell                         |
|  | Lateralmorene                  |   |                                    |
|  | Bakkestreker                   |   |                                    |
|  | Vei                            |   |                                    |

Tallene angir høyde i m over nåverende havnivå, både på kartskissen og langs profilene helt til høyre.

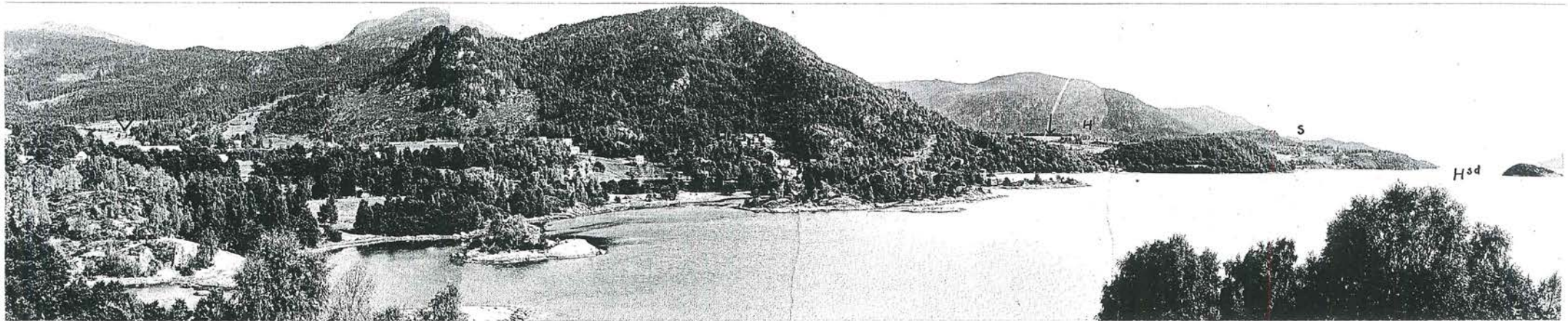


Fig. 10, tatt fra Valeøy mot øst-sydøst, viser området fra Sandvoll (S) - Handeland (H) til Valen (V) langs Höylandssundets (H<sup>sd</sup>) østside. Lateralmorenen ved Handeland sees ved pil.



Fig. 11. Lateralmorenen øst for Handeland gård, sett fra foten av Åsane mot sydøst. Morenens topp ligger i granteigen.



Fig. 12. Snitt I syd for Handelandselvi. Øverst morenemateriale (M), som overleirer lagdelt, sortert materiale:

L = laminalag-pakker.  
G = grus og sand.

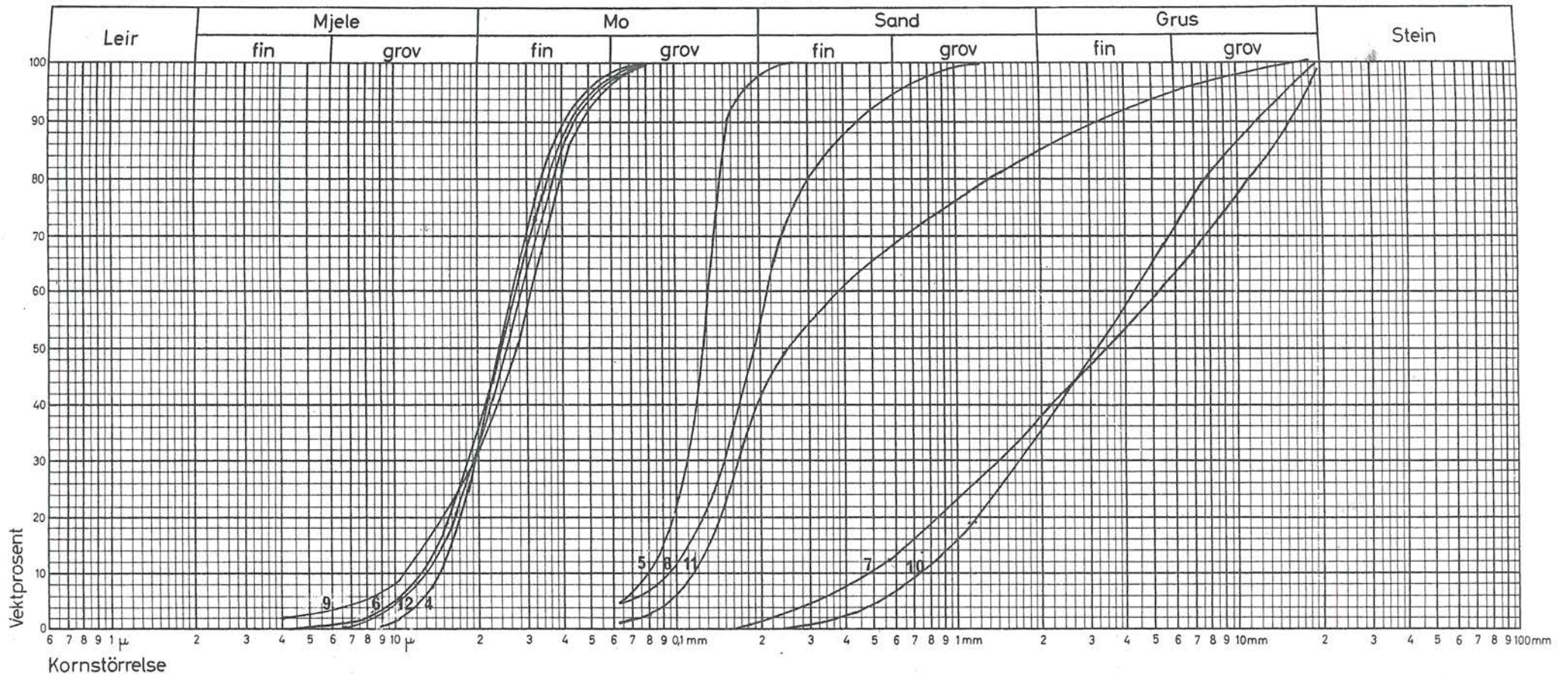


Fig. 13. Kornfordelingsanalyser av det sorterte materialet på Sandvoll-Handeland. Numrene refererer seg til tabell 3.



→ V

Fig. 14. Øverste laminapakke i snitt I syd for Handelandselvi, med strømingsstrukturer mot vestt. (høyre)

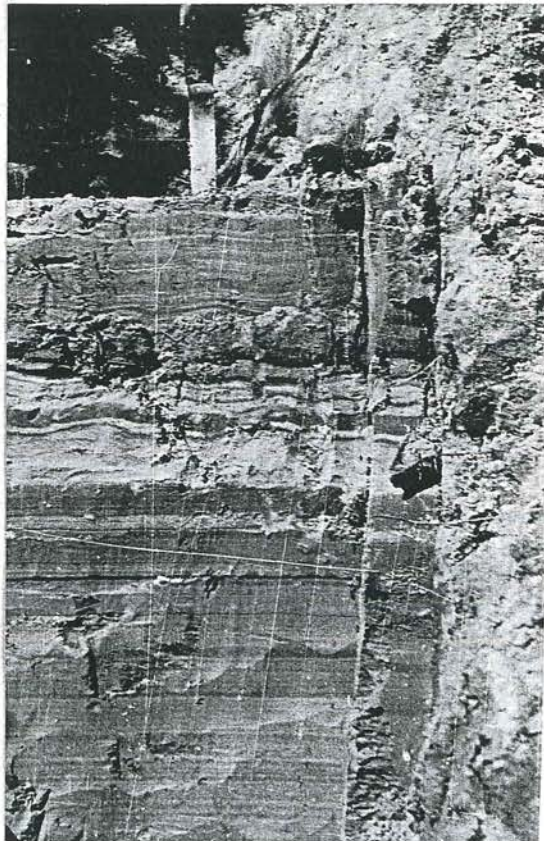


Fig. 15. Laminert materiale i snitt II nord for Handelandselvi.



Fig. 16. Lateralmorenen langs Hjortehaugens nordvest side, sett fra Hjortehaug mot Upsangervatn-Husnes.



Fig. 17. Blokk av glimmerskifer ca. 300 m o.h., vest for Husnes.

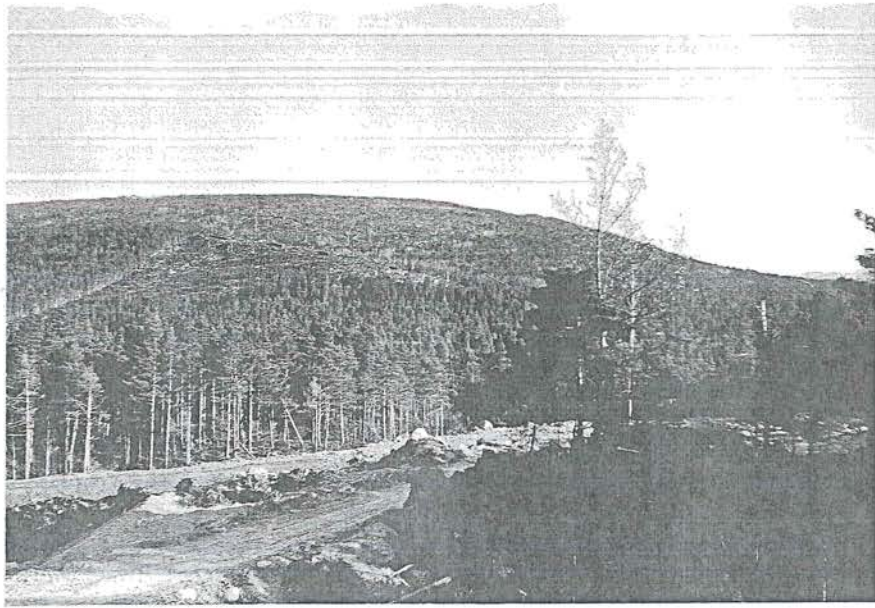


Fig. 18. Fjordsiden øst for Husnes. Den yngre lateralmorenen er vist ved stipling, og i nærbilde på fig. 19.

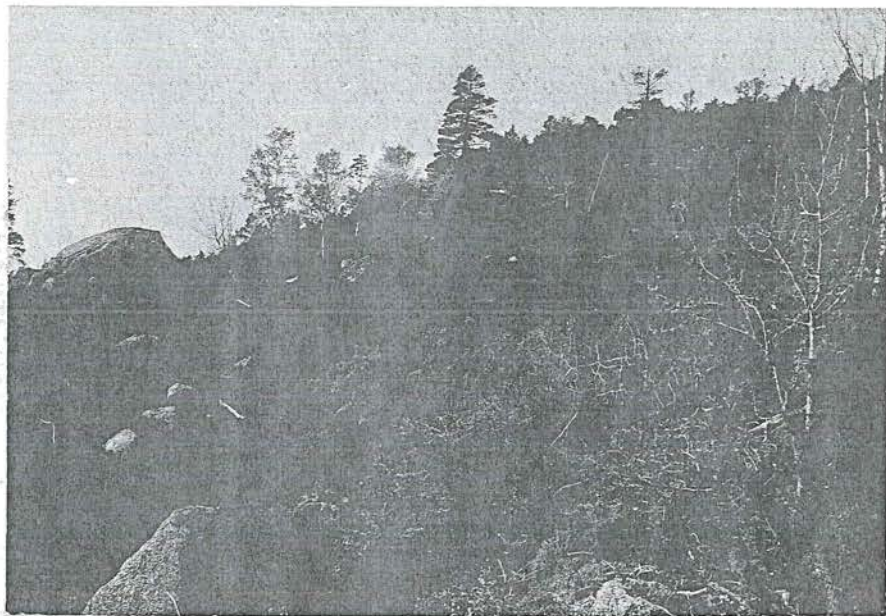


Fig. 19. Nærfoto av lateralmorenens distalside ca. 250 m o.h., tatt mot nord.

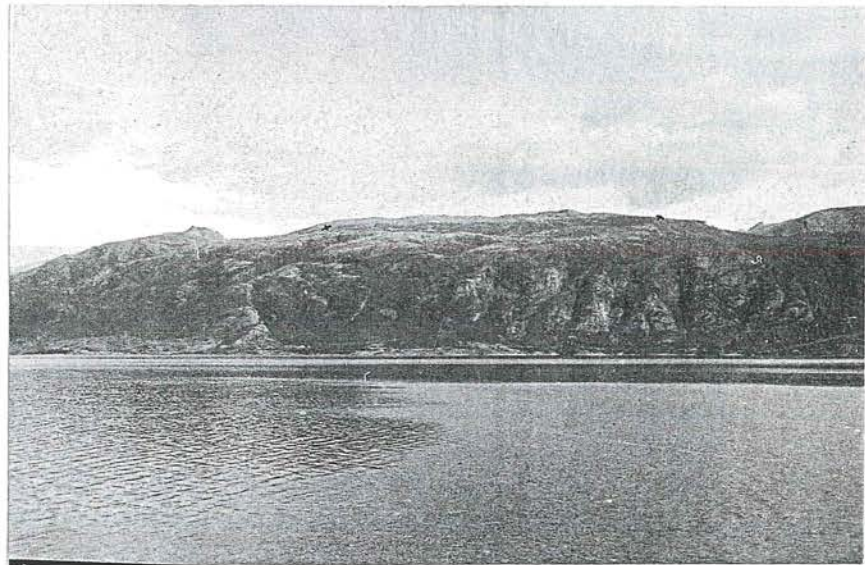


Fig. 20. Randbeltet langs Nordlifjellets vestsida (merket x), tatt mot øst fra fergen Løfallstrand-Gjermundshamn.



Fig. 21. Øvre morenerygg lengst sydvest langs Nordlifjellets vestsida (pil). Foto tatt mot sydvest.



Fig. 22. Distalmorenen  $\frac{1}{2}$  km lengere nord, ca. 830 m o.h., sett mot syd. (Dilskråningen til venstre.)



Fig. 23. Randbeltet langs Nordlifjellet, sett mot nord, vest for topp 972 m o.h. Beltets øvre grense ligger her ca. 840 m o.h.



Fig. 24. Anesdalen sett mot sydøst. Lateralmorenen nord for Gygrastolen (G) angitt ved piler. (Foto: Widerøe)

Fi

Fi

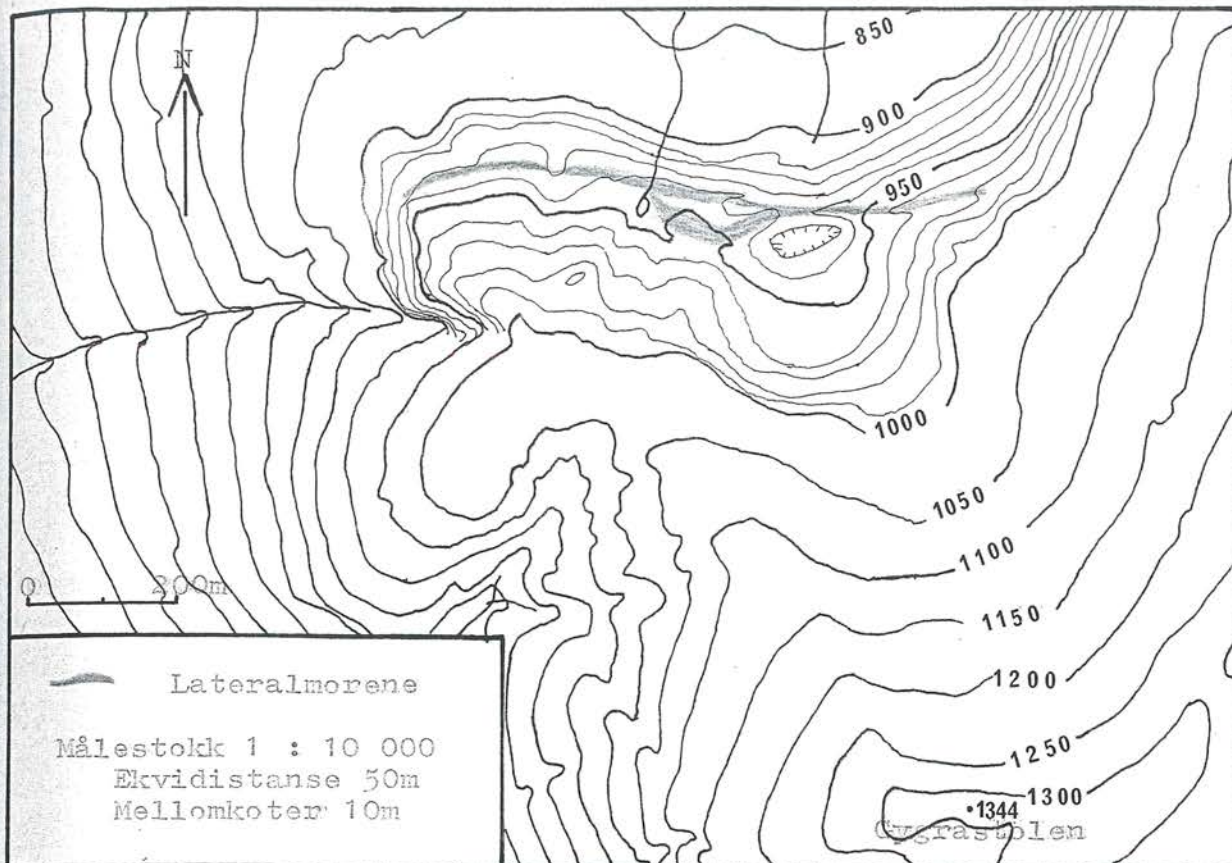


Fig. 25. Kartskisse over lateralmorenen nord for Gygrastolen (etter NVE-Statskraftverkernes kart SBP-8805).



Fig. 26. Uskedalsområdet tatt mot nordøst. "Langhaugenes" beliggenhet vist ved pil. (Foto: Widerøe)

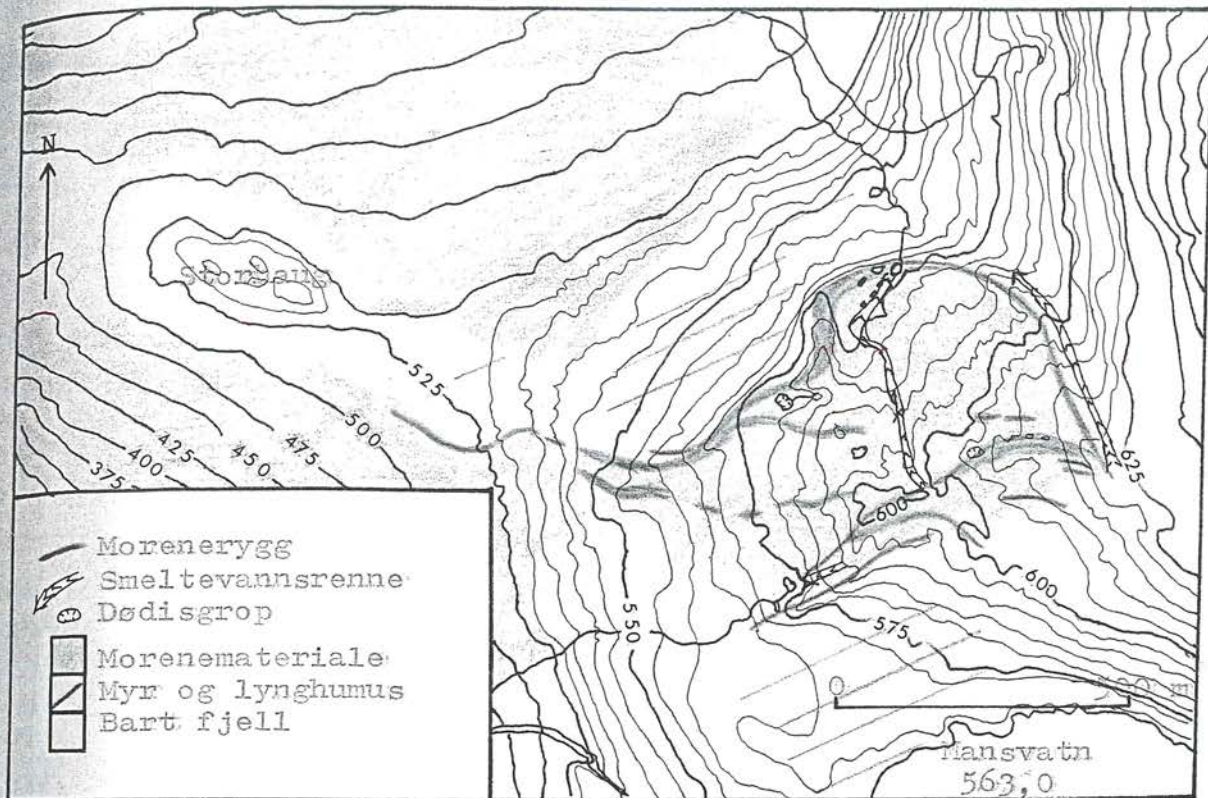


Fig. 27. Kartskisse over "Langhaugene" i målestokk ca. 1 : 12 800 med ekvidistanse 25m (mellomkoter 5m).



Fig. 28. Proksimalmorenen sett mot Solfjell.(S), med proksimalside mot høyre.



Fig. 29. Den ca. 10m høye distalmorenen sett fra nord mot syd-sydöst. Solfjellets vestside sees til venstre. Målestokk innsirklet.

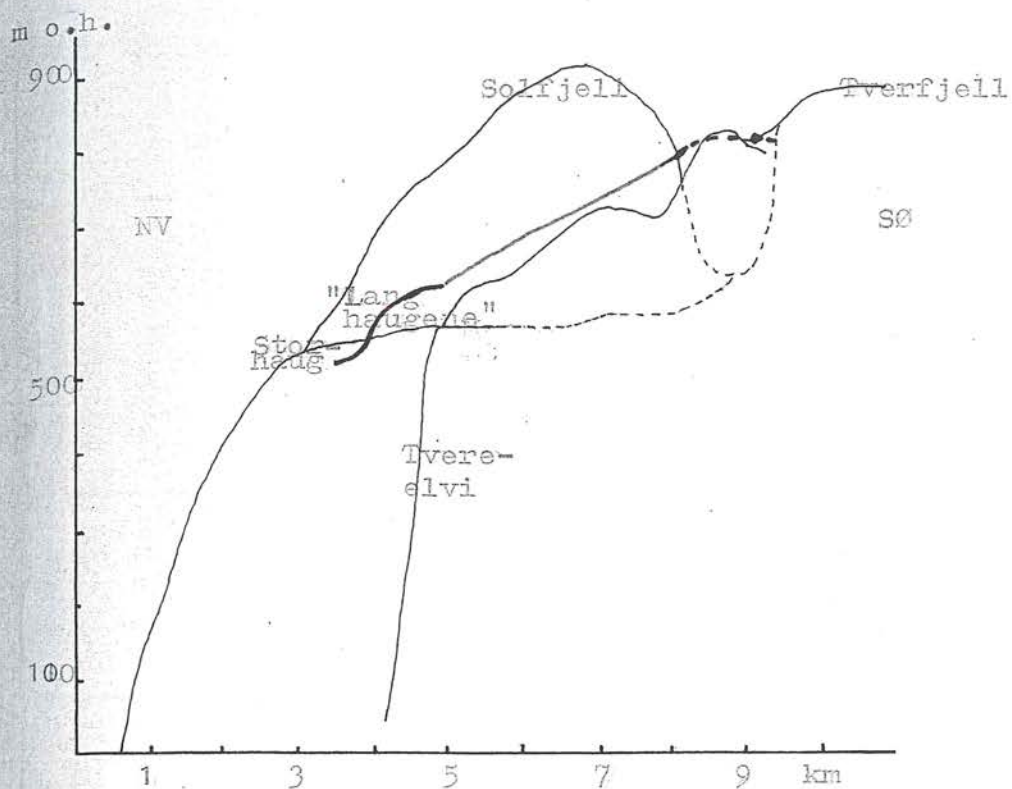


Fig. 30. Antatt breoverflate (—) fra "Langhaugene" og sydøstover til passpunktet mellom Solfjell og Tverfjell, mot Omvikdalen.



Fig. 31. Lateralmorenen i munningen til St. Laurdal, sett mot nordvest. (Rosendal sees ved pil.)

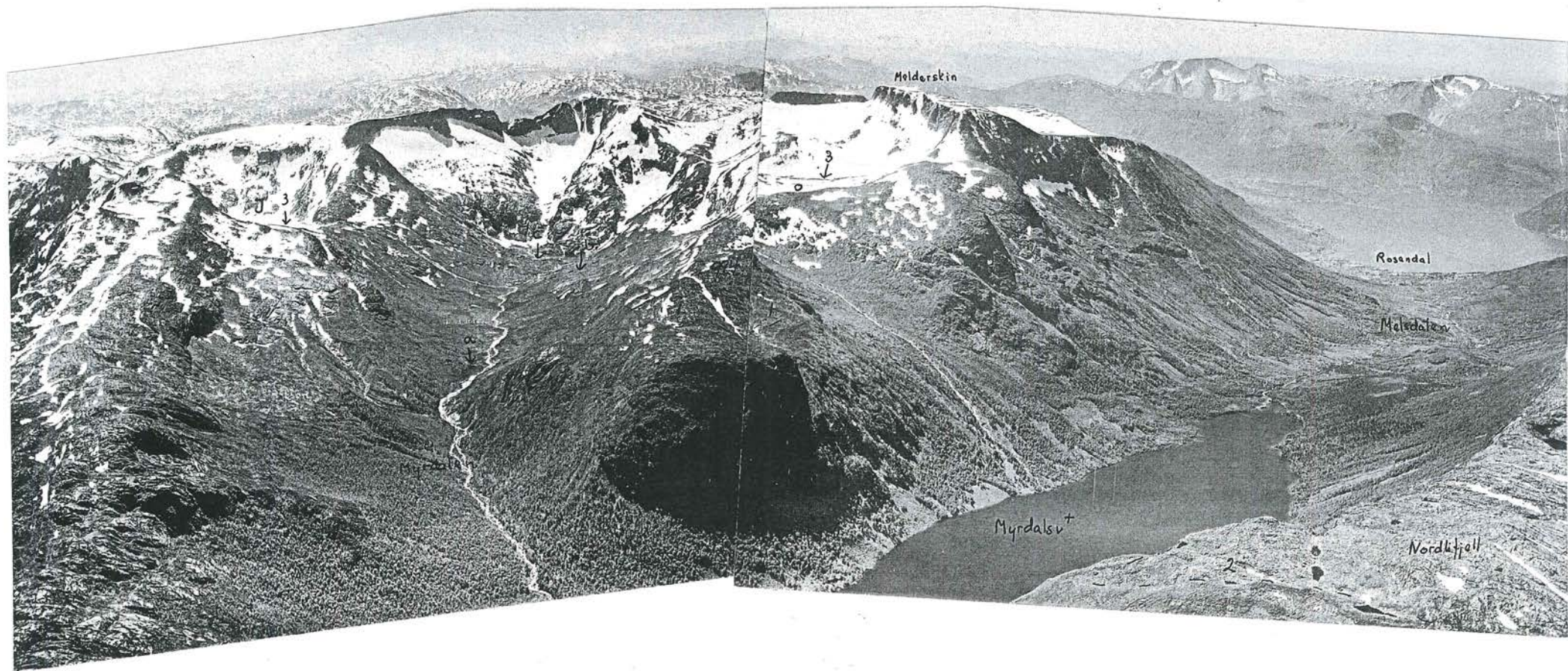


Fig. 32. Melderskinsmassivet og Myrdals-Melsdalsområdet sett fra nordvest mot sydöst/sydvest.

1. Lateralmorener langs nord og vestsiden til høyde 994.
2. Morenebeltet nord for Nordlifjell.
3. Randmorener i Omnatjern og nord for Juklevatn, mens a, b og c angir yngre randtrinn i Myrdalen.

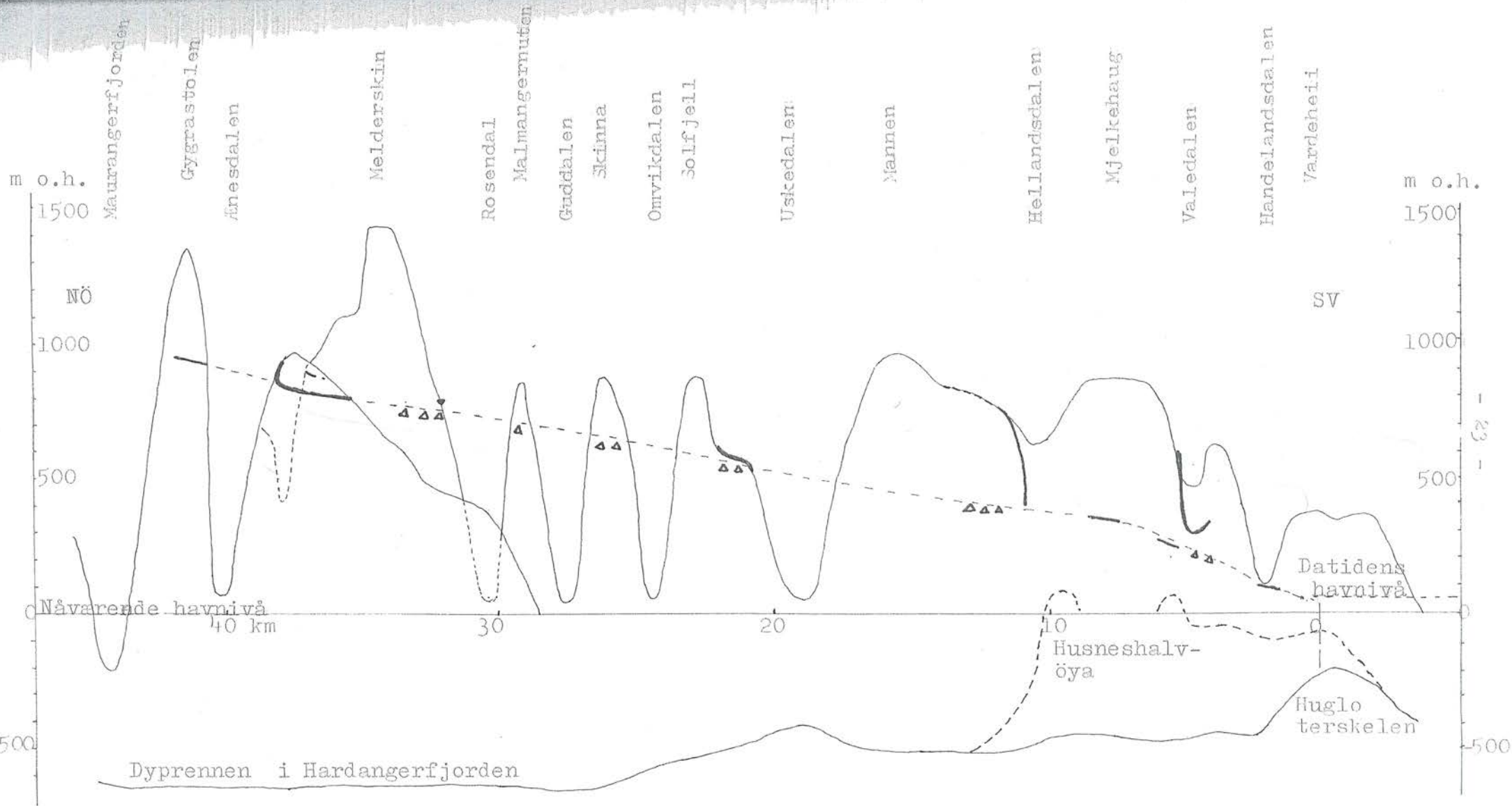


Fig. 33. Lengdeprofil av Hardangerfjordbreen, basert på lateralavsetninger.

— lateralmorene      ▲▲ övre grense for morenedekke



Fig. 34. Snitt i storblokkig morenemateriale i Melsdalens munning 200 m o.h.

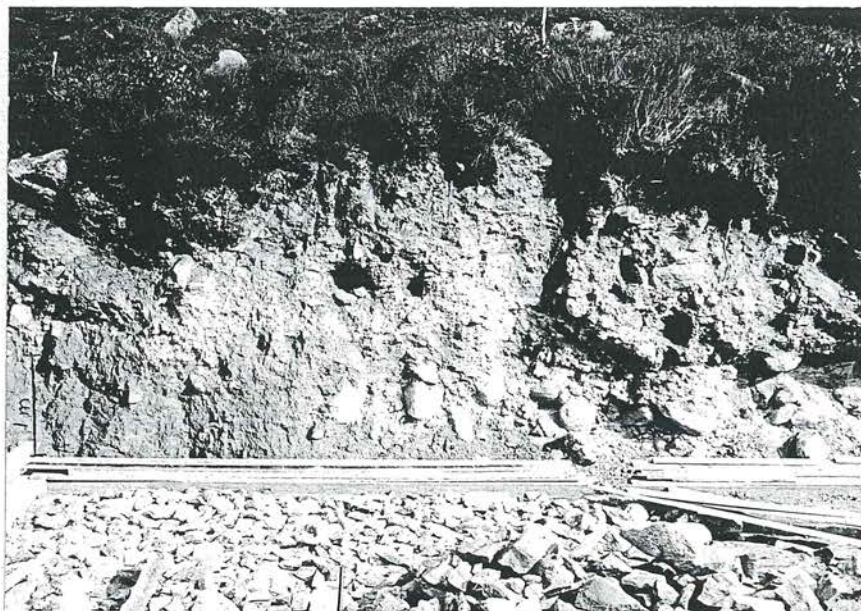


Fig. 35. Snitt i normalblokkig morenemateriale ved Rød/Uskedal, 30 m o.h.

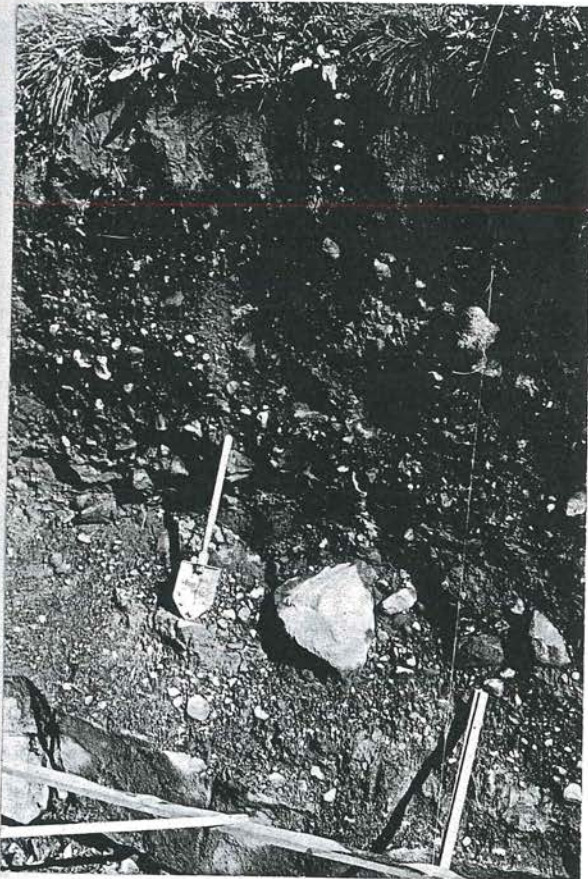


Fig. 36. Snitt i normalblokkig morenemateriale ved Guddal gård i Guddalen. Over morenen ligger det marine sedimenter, vesentlig mjelig mo-fin sand.



Fig. 37. Grus-sand linse i normalblokkig morenemateriale ved Ljosnes 30 m o.h.

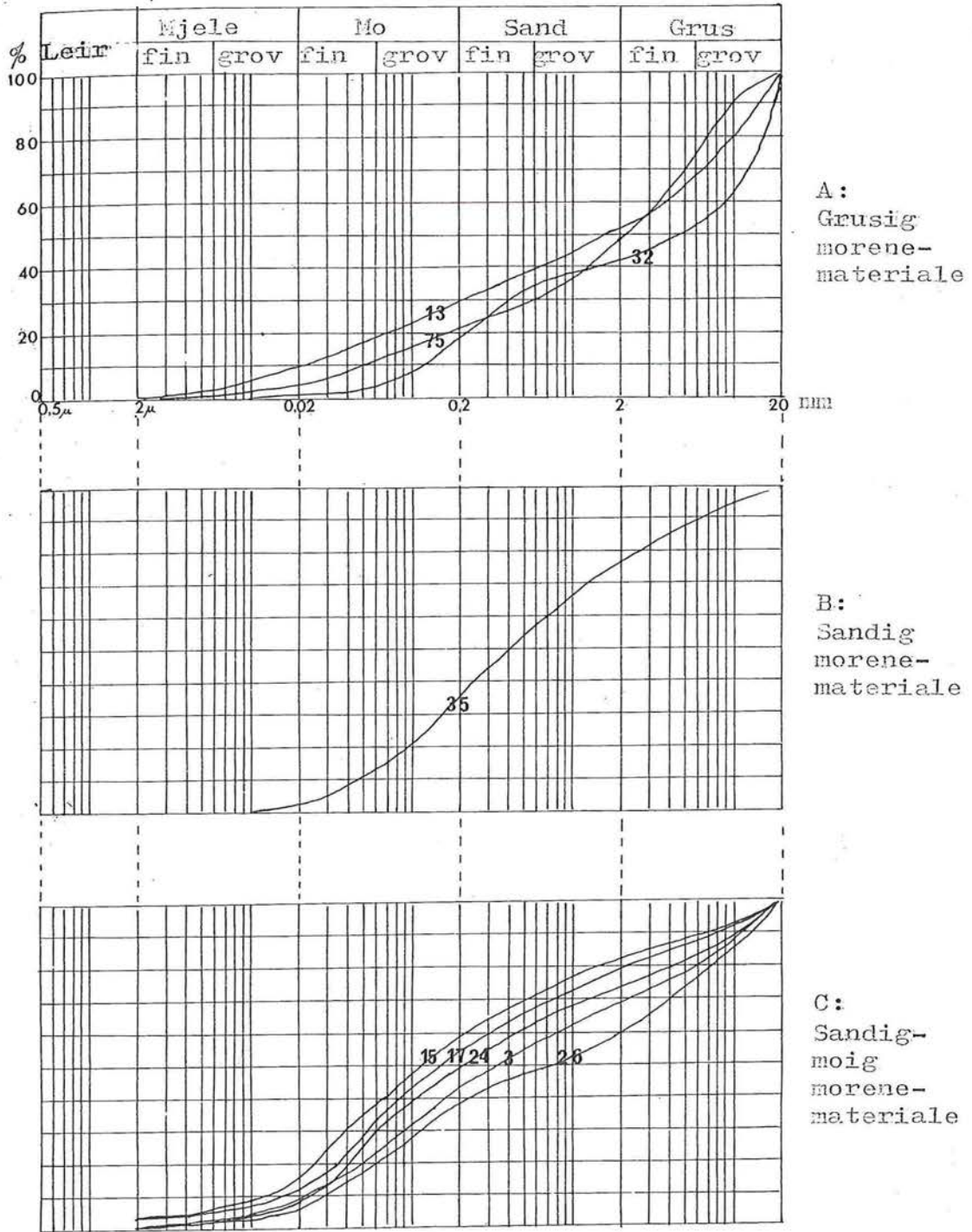


Fig. 38. Fortsetter neste side.

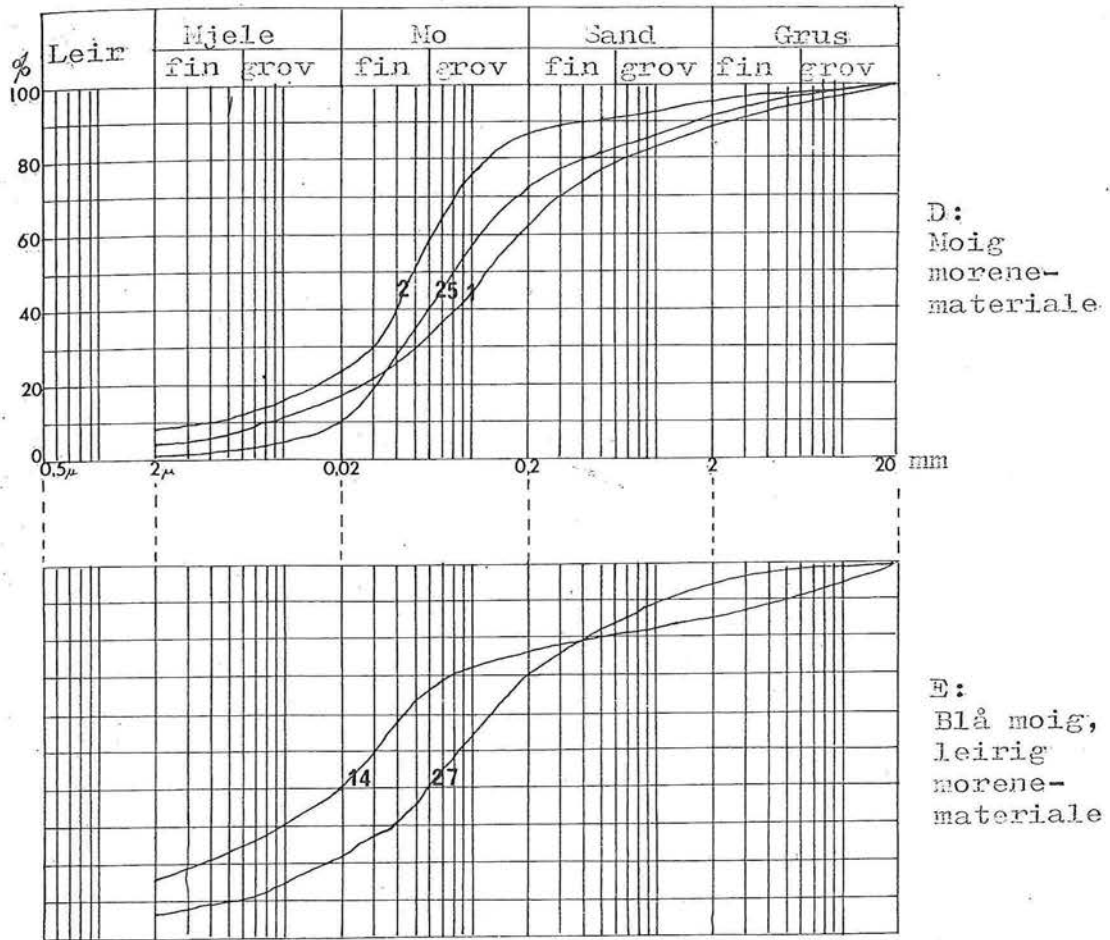


Fig. 38. Kornfordelingskurver for ulike typer morene-materiale (mindre enn 19,1 mm) langs Hardangerfjorden og i tilstøtende sidedaler. Tallene angir prøvenummer og refererer til tabell 3.

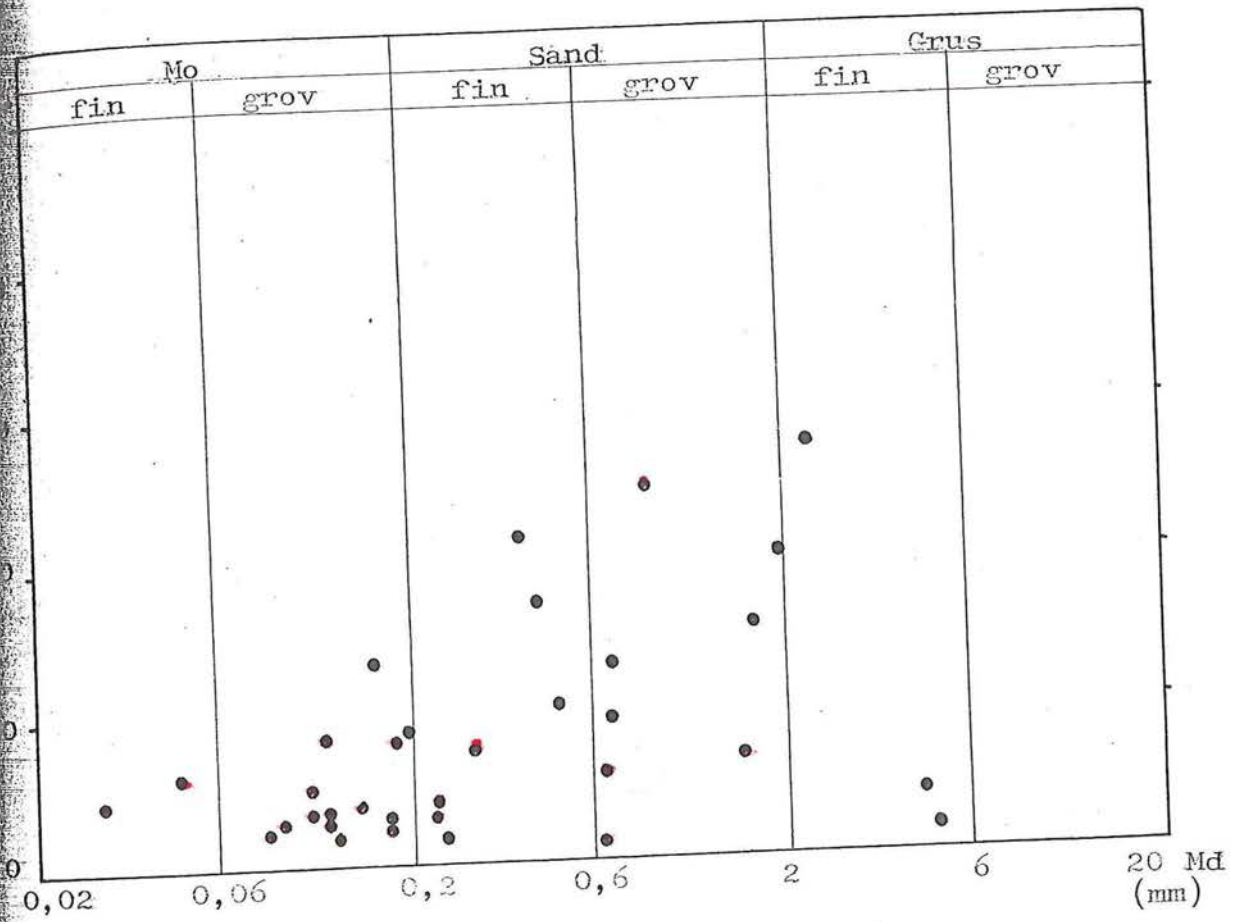


Fig. 39. Median variasjon i morenematerialet mindre enn 19,1mm langs Hardangerfjorden (●) og i sidedalene (◐) med hensyn til høyde over havet.

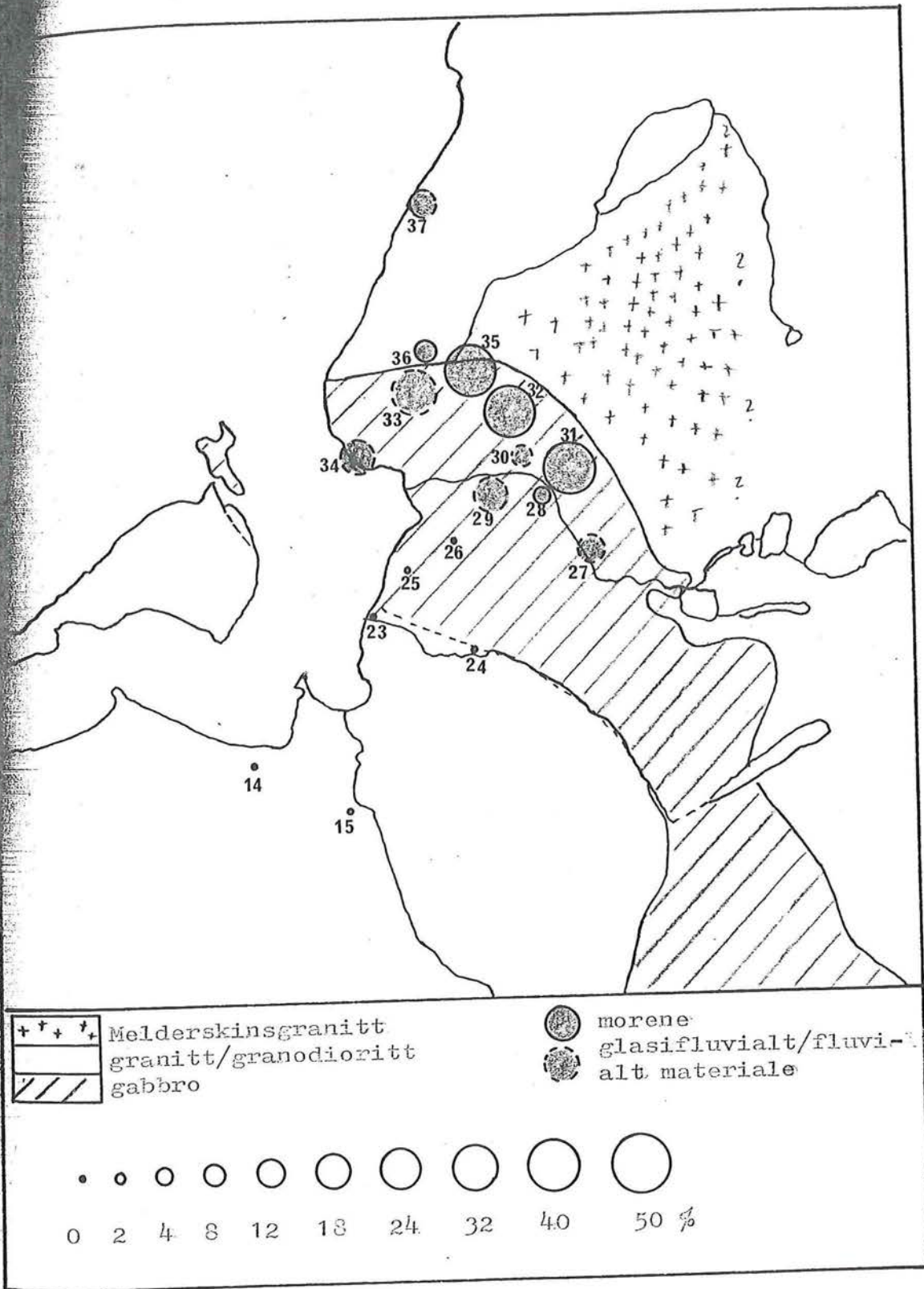


Fig. 40. Innhold av grovkornet Melderskinsgranitt i morene og glasifluvialt-materiale, med underliggende berggrunn (forenklet). Tall angir prøvenummer og refererer til tabell 7.

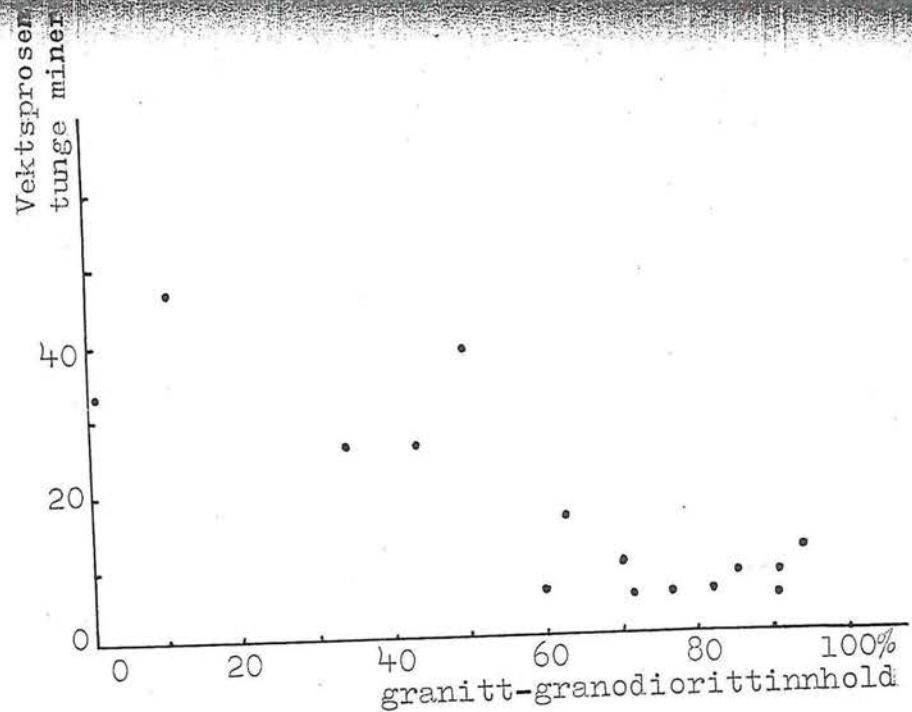
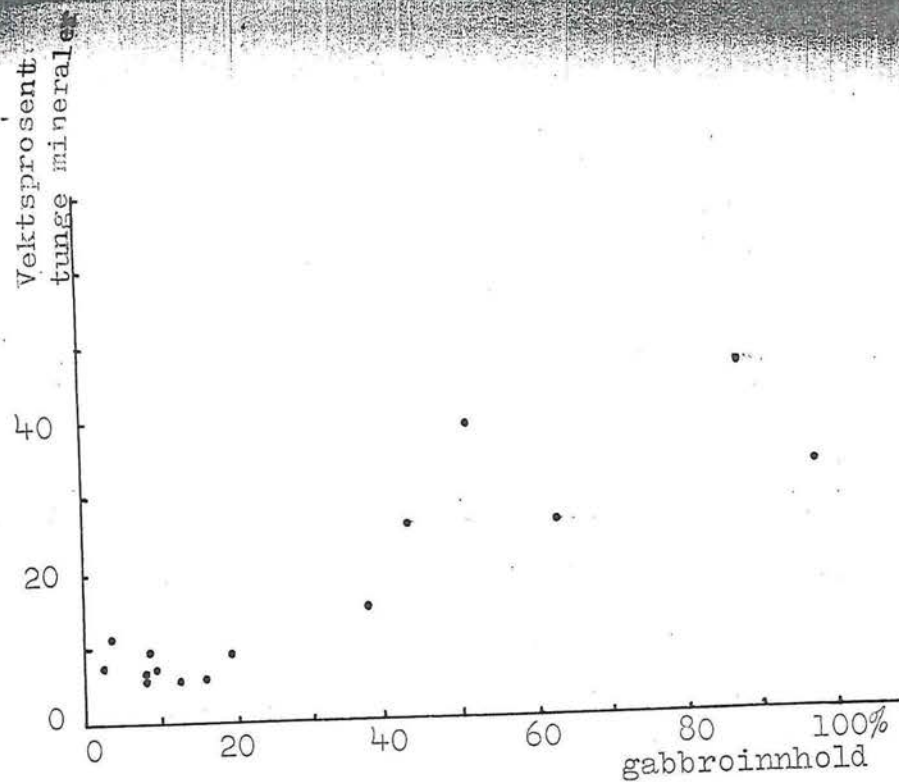


Fig. 41. Relasjon mellom vektspersent av tunge mineraler og gabbroinnhold/  
granitt-granodiorittinnhold i steinfraksjonen (32-44 mm).

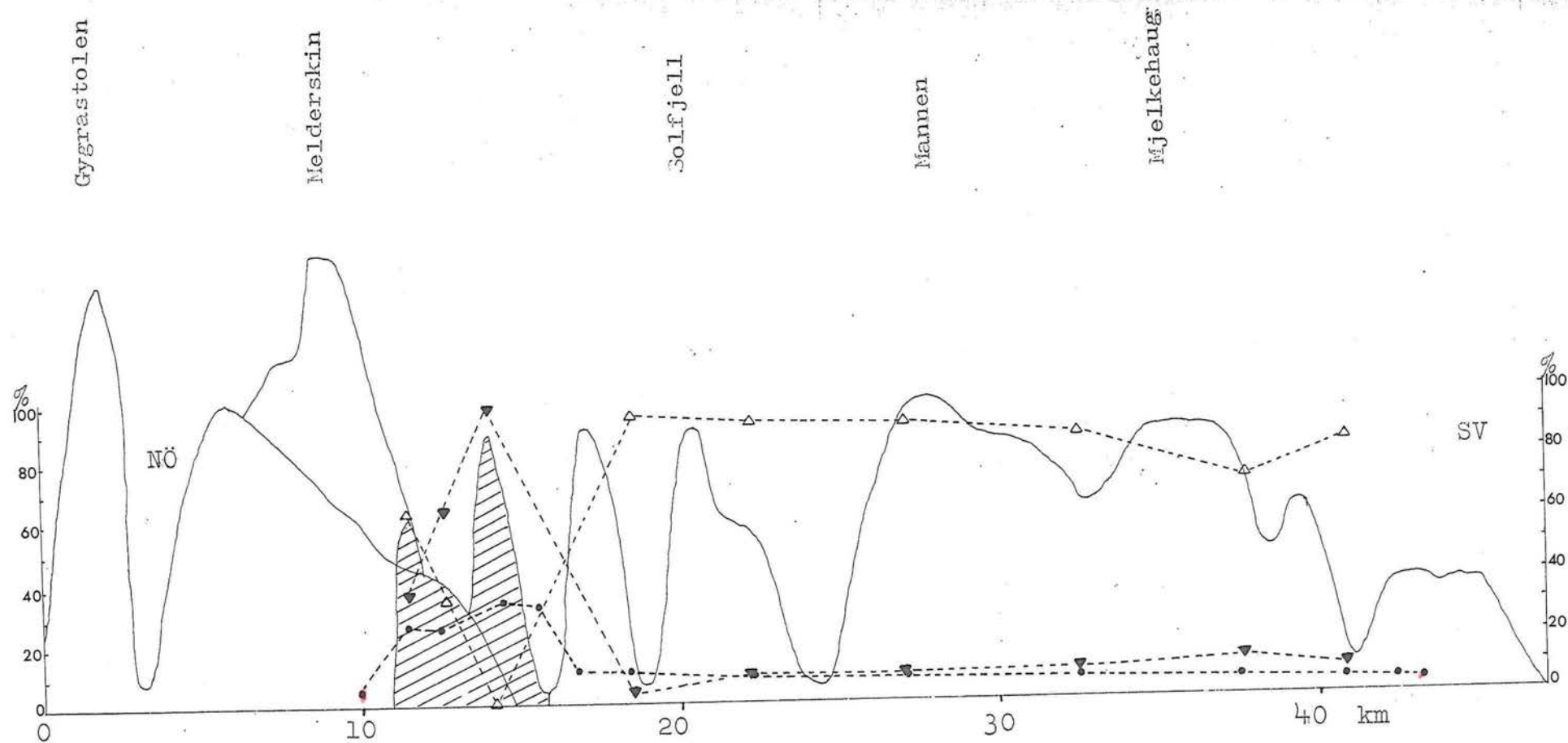


Fig. 42. Gabbro-(▼), granitt/granodioritt-(▲) og tungmineralprosent (●) i morene-  
 materialet langs sydøstsiden av Hardangerfjorden  
 Steintellingsnummer fra SV-NÖ: 5, 6, 7, 10, 13, 16, 26, 28, 35.  
 Tungmineralanalyser " " : 1, 2, 3, 15, 23, 29, 36, 41, 49, 50, 65, 68,  
 73, 80. (Numrene refererer til tabell 3 og 7)

 Gabbroide bergarter.  
 Granittiske/granodiorittiske bergarter.

Legnforklaring til kartet, fig. 43.

Materialtyper:

-  Morenemateriale ( utvasket)
-  Iskontaktsedimenter
-  Havavleiringer, herunder proglasiale submarine avsetninger
-  Elvededimenter, herunder proglasiale supramarine avsetninger
-  Forvittringsmateriale (som talus)
-  Bært fjell
-  Sparsomt dekke, evet. i kombinasjoner

Symboler:

-  Tidligere fluviale løp
-  Terrasseskråning, erosjonskant
-  Ravinering
-  Snitt
-  Dødisgrop

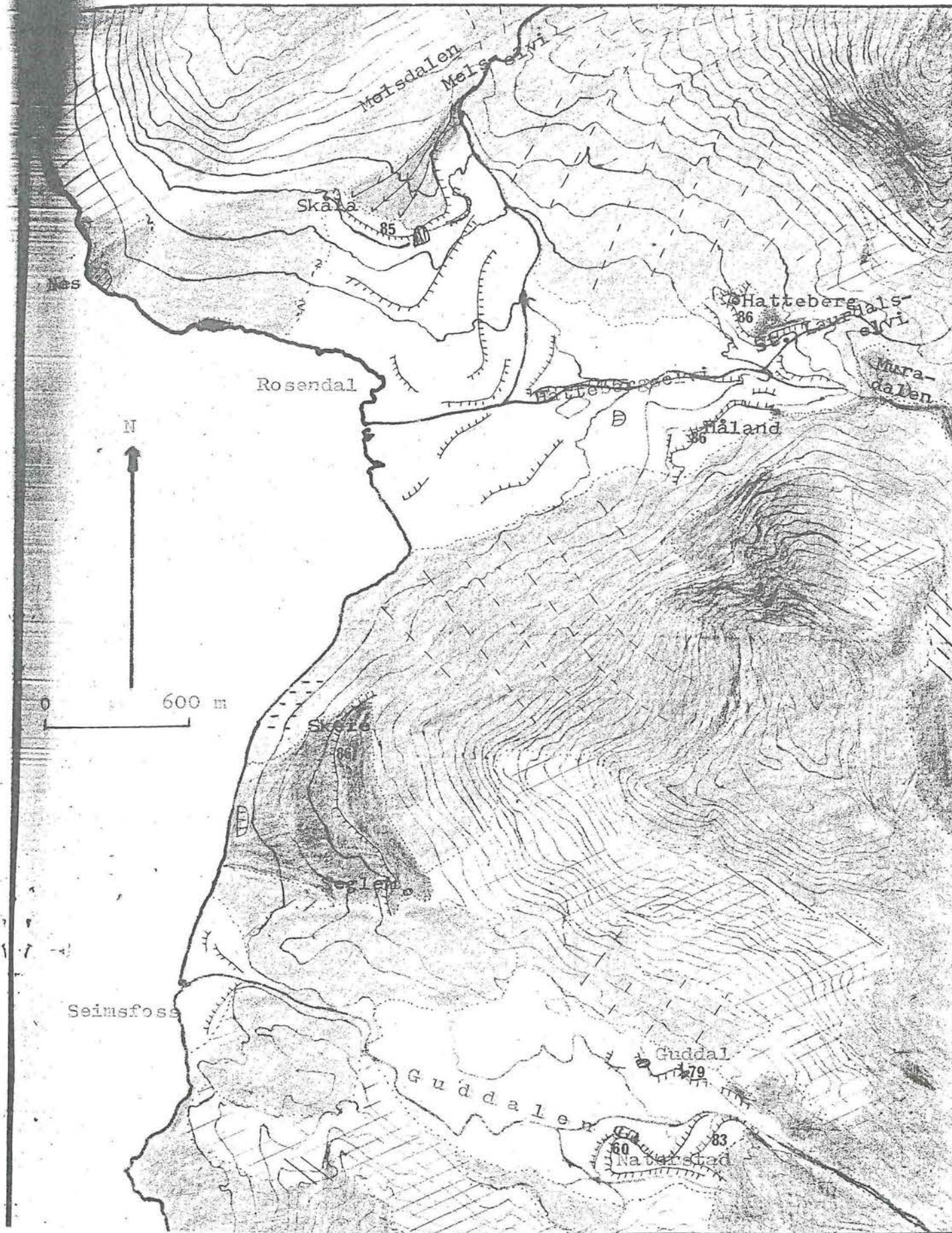




Fig. 44. Melsdalens vifte sett mot nordøst. Ved 1 og 2 sees nivåene 85-87m og 37-41m, mens 3 angir snitt ved Bjørke. (Foto: Widerøe)



Fig. 45. Snitt i Melsdalens vifte, sett mot nordvest. Lagene, som har sydvestlig fall, består av materiale med svært forskjellig kornstørrelse. Snittets beliggenhet framgår av fig. 44.



Fig. 46. Viften ved Muradalens munning (stiplet), sett mot øst. Akkumulasjonsrestene ved henholdsvis Hatteberg og Håland sees ved 1 og 2. Pil angir beliggenhet av lateralmorene i St. Laurdals munning. (Foto: Widerøe)

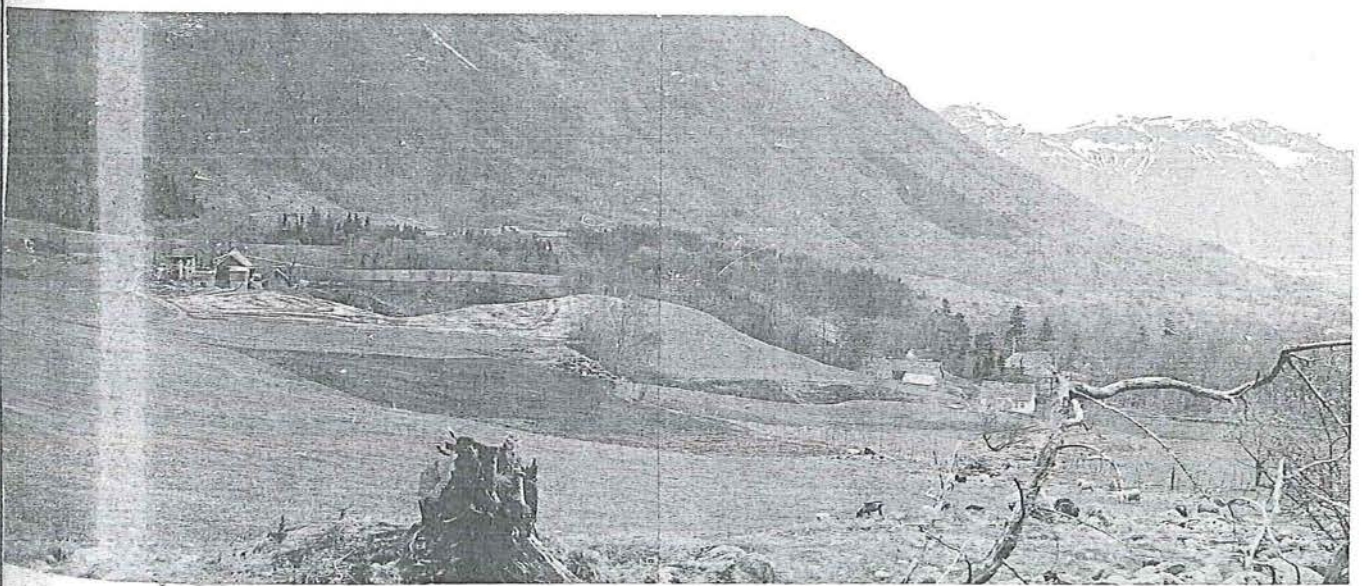


Fig. 47. Overflaten av vifteresten ved Hatteberg, sett mot syd-sydøst fra dalsiden nord for avsetningen.



Fig. 48. Snitt i vifteresten ved Hatteberg, ca. 88 m o.h., sett mot nord. Lagene (ved spade) faller mot nordvest og består overveiende av grusholdig sand. Øverst sees et steinholdig gruslag.

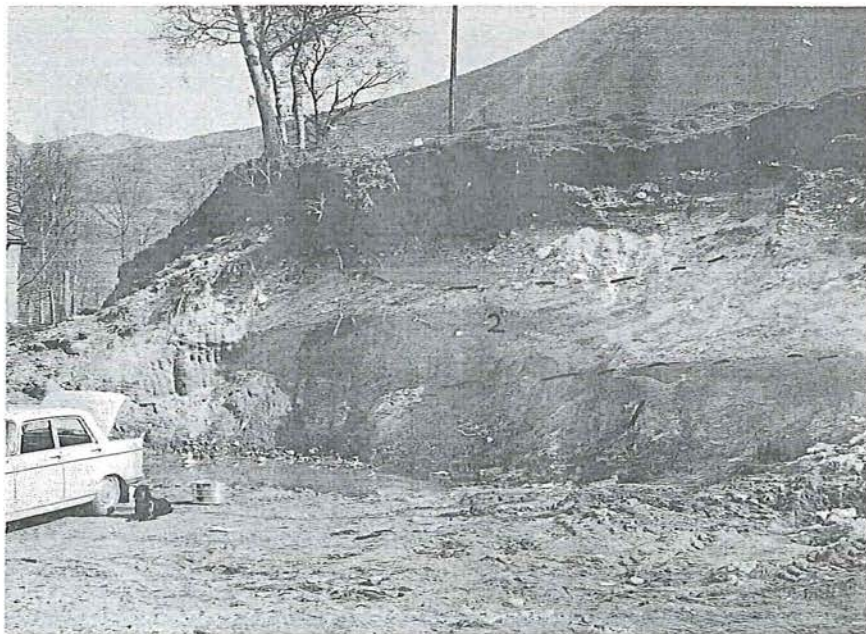


Fig. 49. Snitt i distalskråningen, ca. 30 m o.h., i vifteresten ved Håland, sett mot nordøst. Nederst (1) sortert f. sand som overleires av skrålag med fall mot vest (2). Til venstre en yngre elveseng (3).

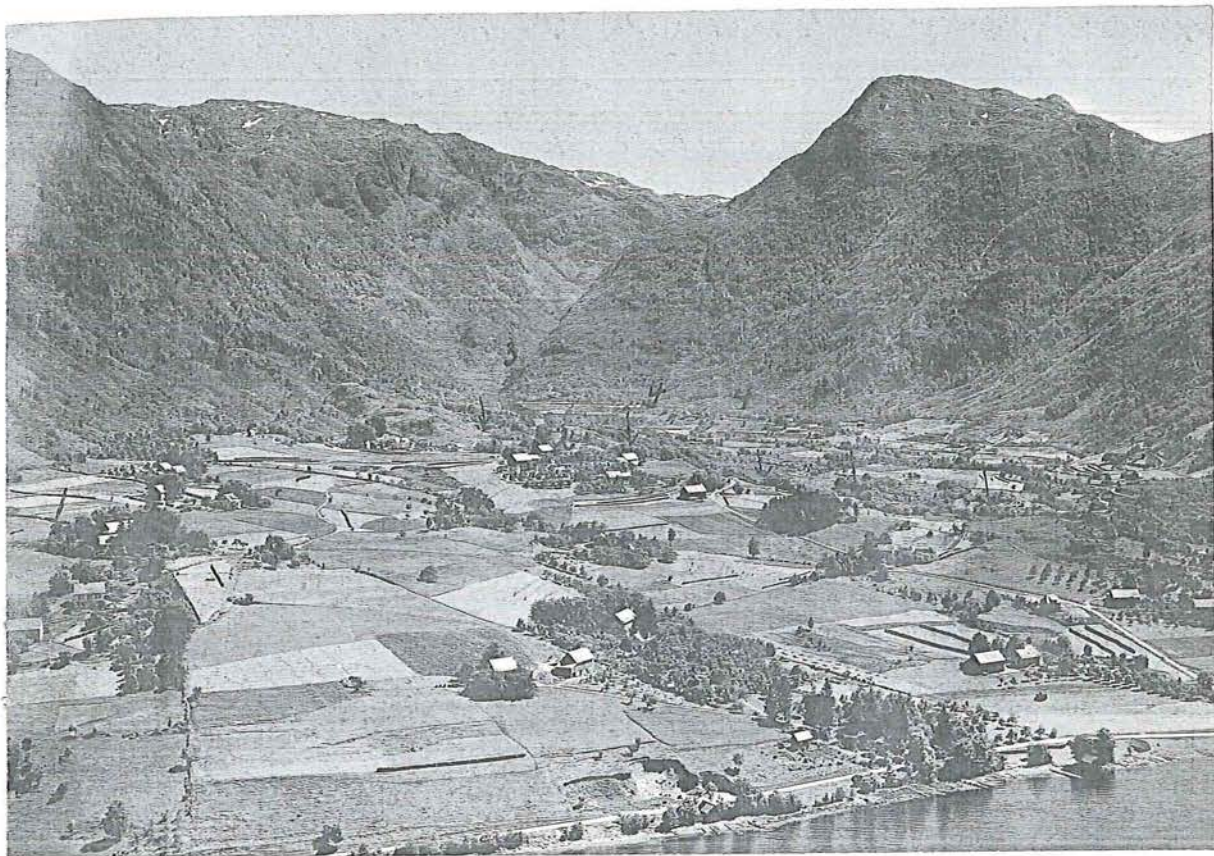


Fig. 50. Området Skeie (1), Seglem (2) og Guddalen (3) sett fra nordvest mot sydøst. Det sammenhengende terrassenivået fra Skeie til Seglem, hvis ytre kant ligger 85-86m o.h., er stiplet, mens den syd og østenforliggende fjellterskel markeres ved piler. Terrassene ved Naterstad-gårdene sees ved 4. (Foto: Widerøe)

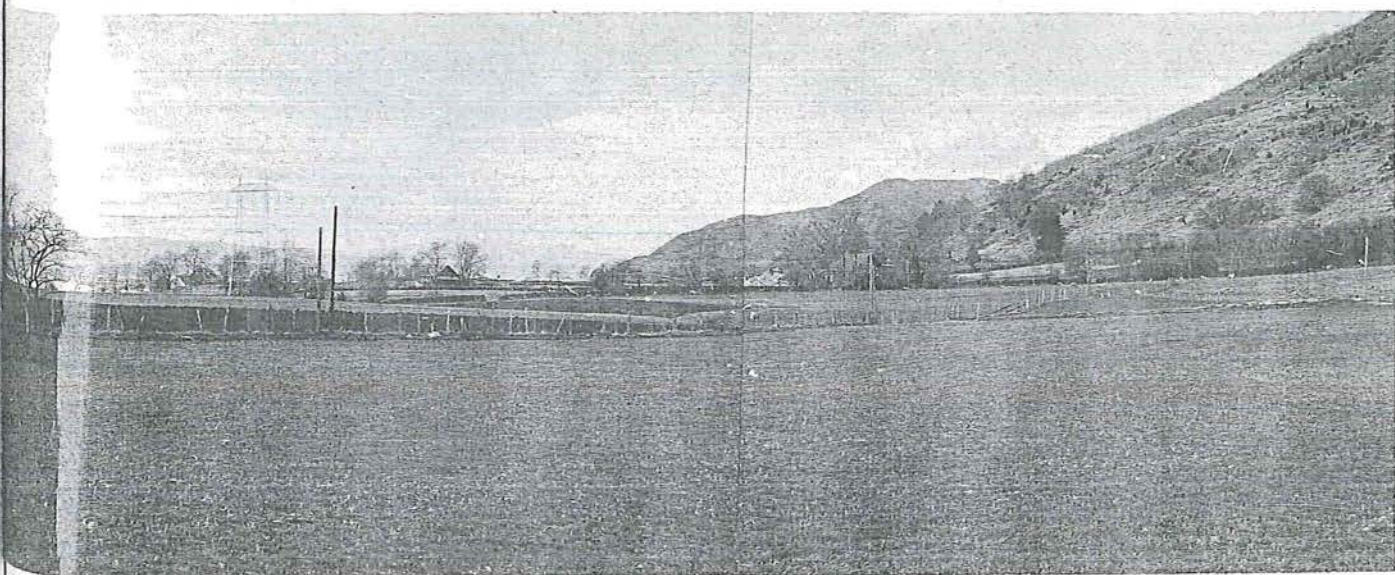


Fig. 51. De sydøstligste partier av terrassenivået, 85-87 m o.h., sett mot nordvest fra Seglem.

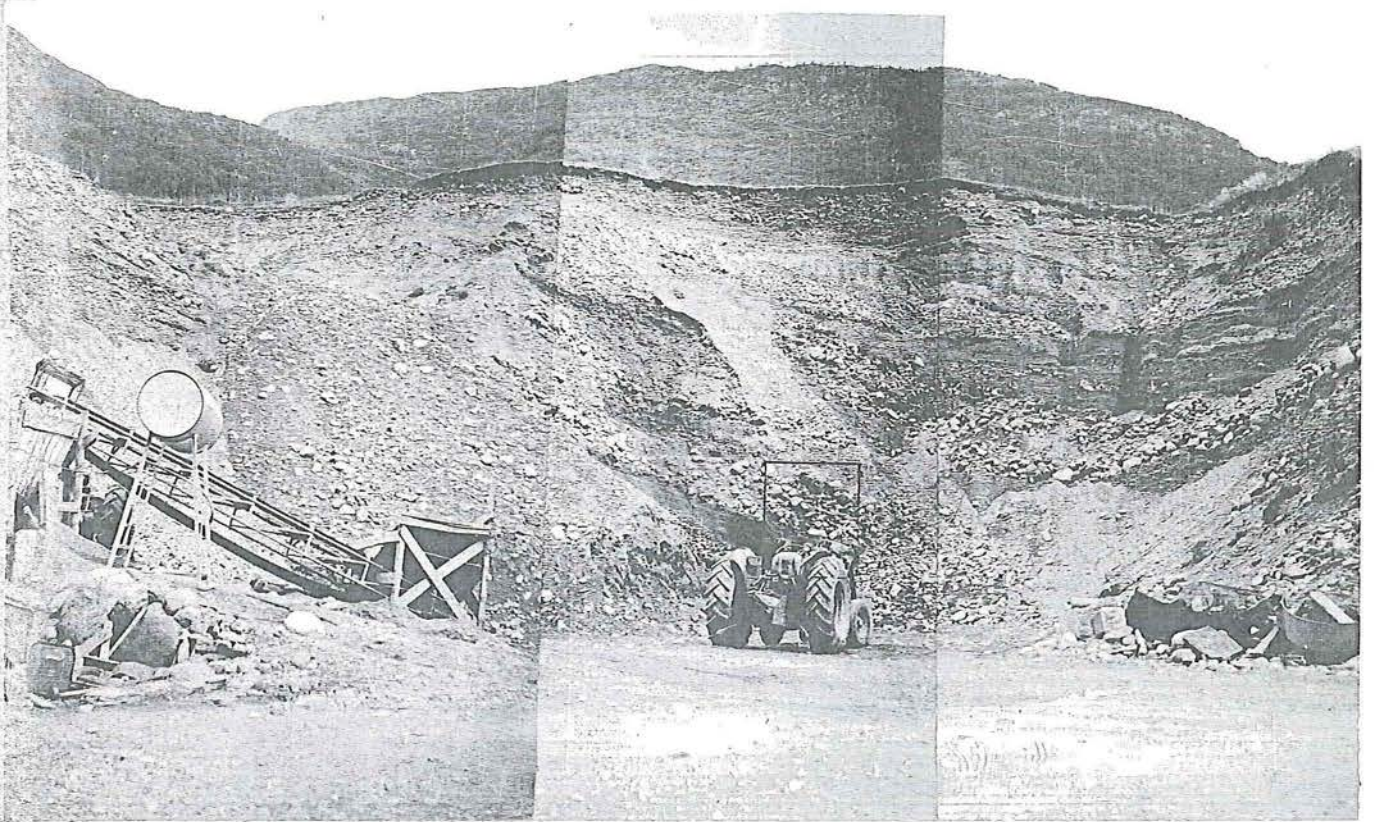


Fig. 52. Snitt i 60-meters terrassen ved Materstad, sett mot SSV. Øverst 1-2m sekundært omleiret materiale i nær horisontale lag. Under dette foresetlag med stor materialveksling.



Fig. 53. Detalj fra foregående figur (innrammet). Innivskaftet er 12cm langt.

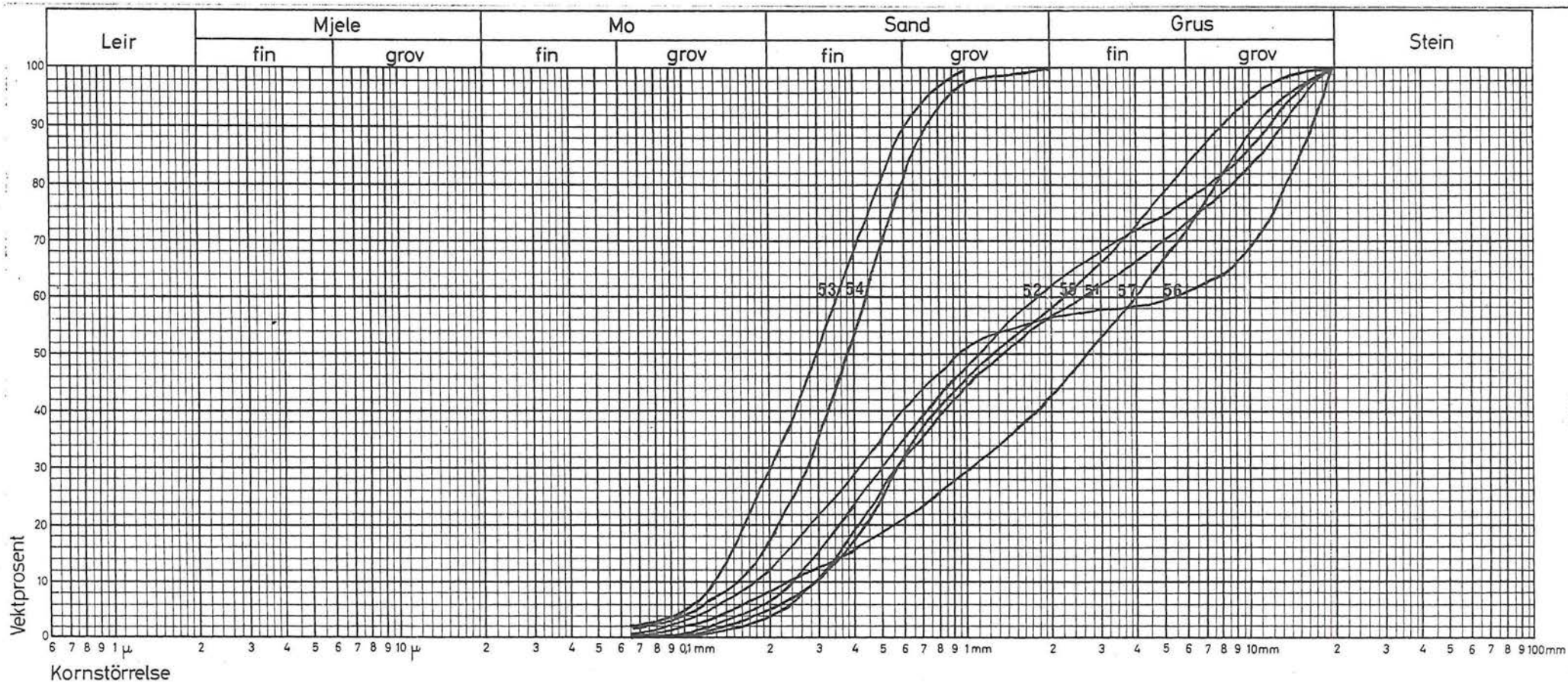


Fig. 54. Kornfordelingsanalyser av materialet i vifterestene ved gårdene Naterstad og Guddal. Numrene refererer til tabell 3.

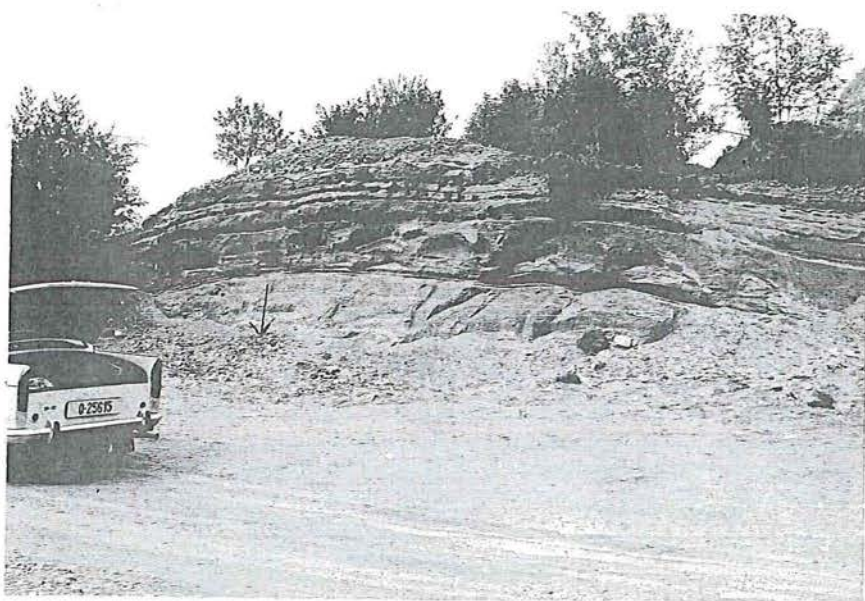


Fig. 55. Snitt i erosjonsrest på 60-meters terrassen ved Katerstad, sett mot nord. Sjellavtrykkfunnet ved pil.



Fig. 56. Avtrykk av muslingen *Lymnaea truncatella* (L.) i godt sortert sandig mo.



Fig. 57. Snitt i 80-meters nivået øst for Guddal gård, sett mot syd. De skråttstilte lagene, som har vestlig fall, viser stor materialveksling.

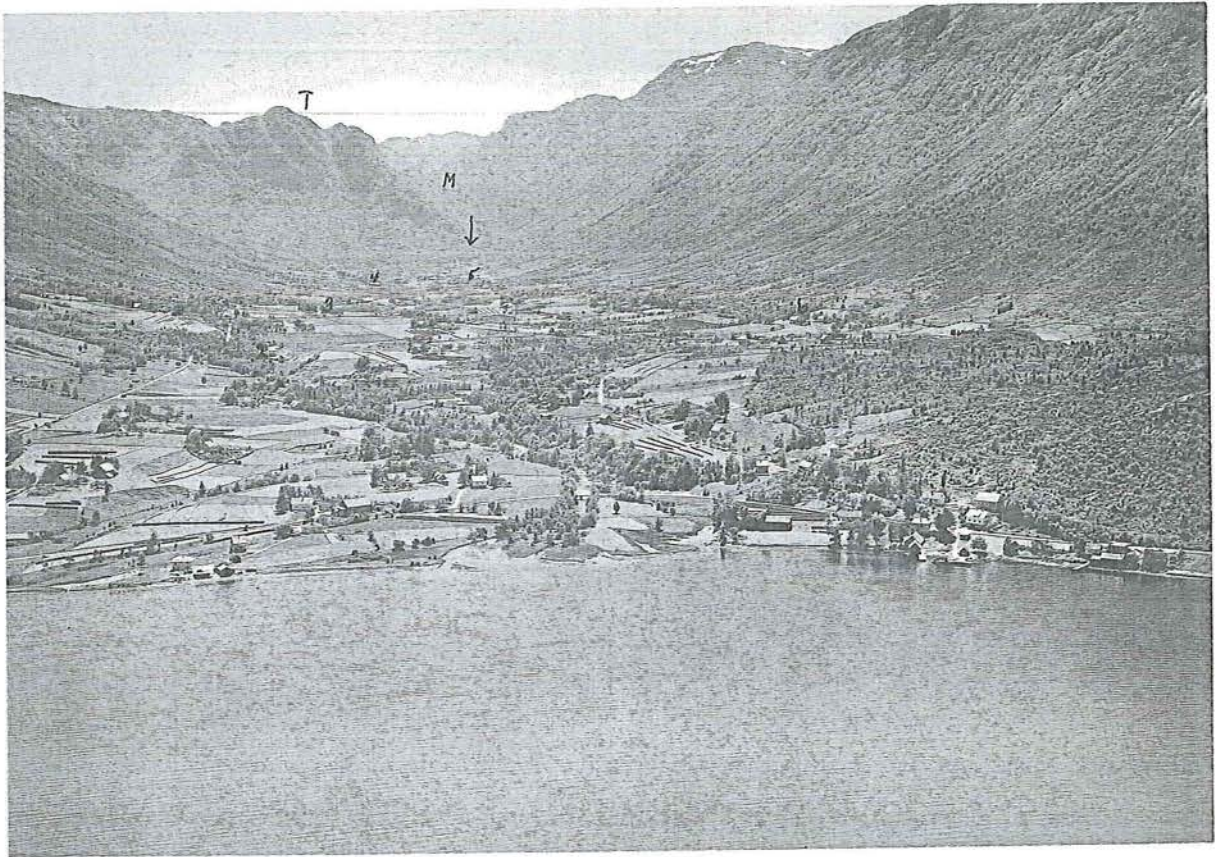


Fig. 58. Omvikdalen sett mot sydøst. I fotoets bagerunn sees Tverfjell (T) og Myklebustdalen (M), mens beliggenhet av Kyllarhaugsmorenen er vist ved pil. Forøvrig sees gardene Fet, Omvik, Hjelme-land, Bakka, Myklebust-Røysland og kipel ved henholdsvis 1, 2, 3, 4, 5, og 6. (Foto: W. Sævi)

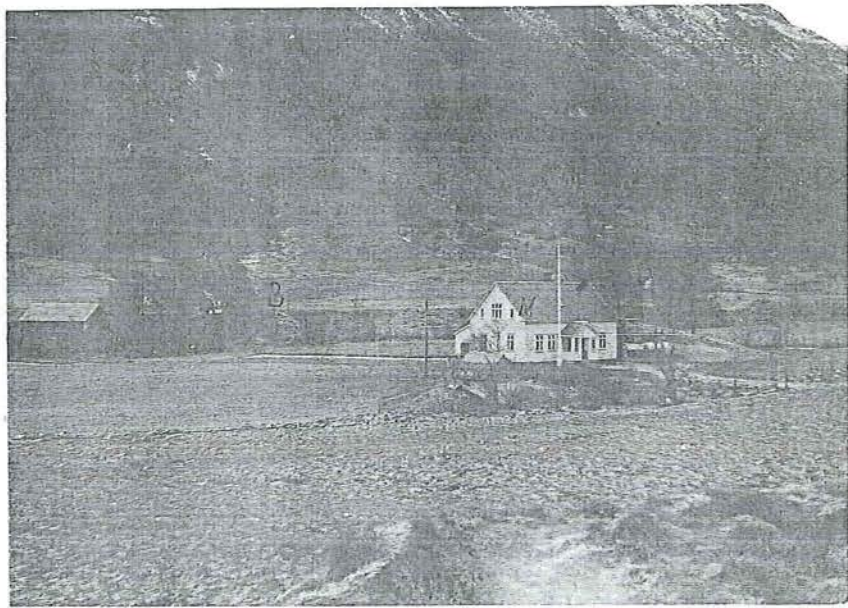


Fig. 59. Øvre terrassenivå ved Bakka (B) sett fra Myklebust (M) i forgrunnen, mot øst.



Fig. 60. Snitt ved Ripel, ca. 55 m o.h., i Omvikdalens dalfylling, sett mot vest. Elveseng er antydnet.

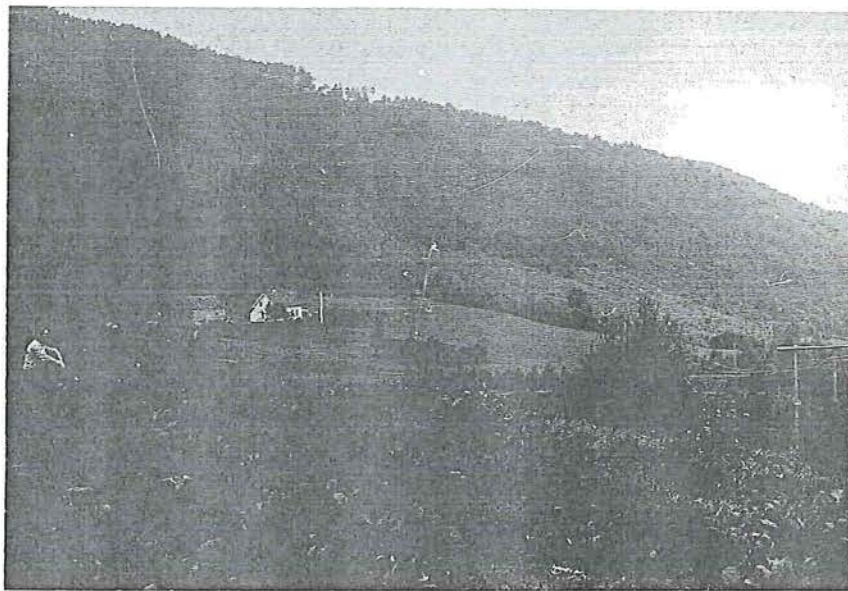


Fig. 61. Abrasjonsterrassen ved Eik (i fotoets forgrunn), sett mot vest. Ved høyspentmast sees ytre del av selve viften, som her ligger ca. 79 m o.h.



Fig. 62. Snitt i viften ved Eik, ca. 14 m o.h. Lagene faller mot nord og består for det vesentligste av grusholdig sand.

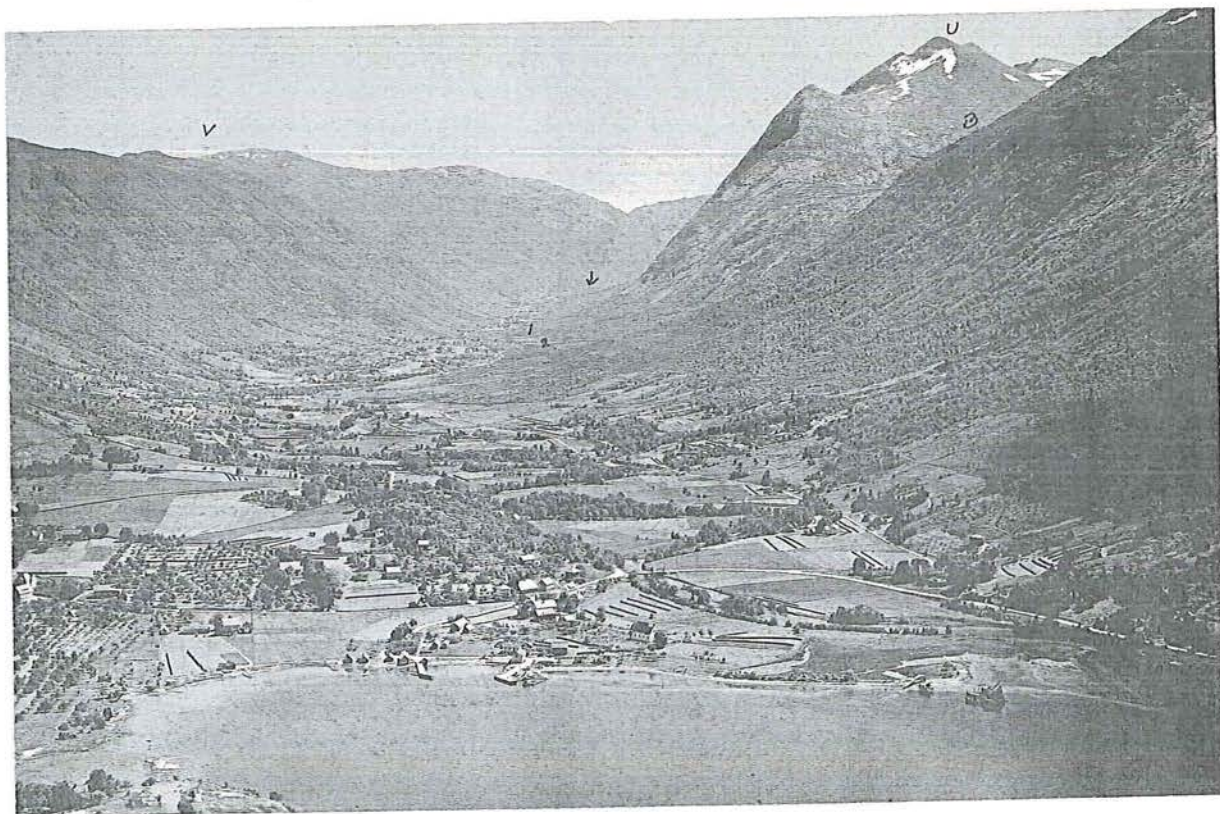


Fig. 63. Uskedalen sett mot sydøst. Fra høyre sees nordøstsidan av Englefjell (E), Borgsdalen (B), Ulvenoso (U) og Vardehaug (V); mens pil antyder beliggenhet av randmorenen sydøst for Øvre Musland. Borgsdalens vifte og de terrasserte avsetningene ved Haugland skimtes ved 1 og 2. (Foto: Widerøe)

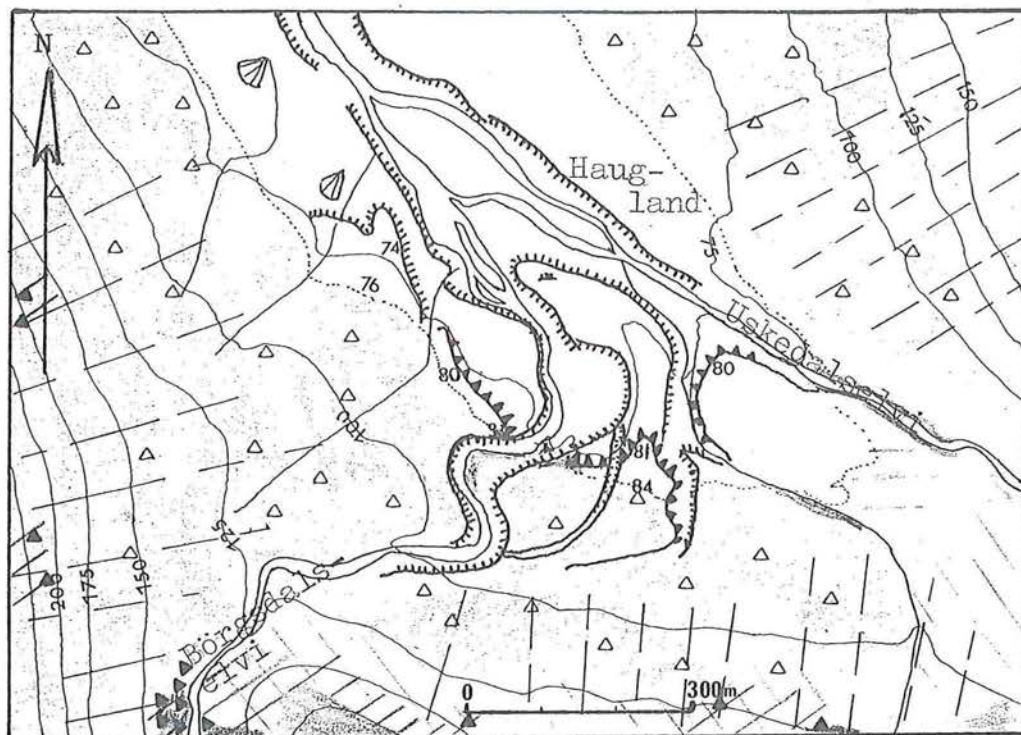


Fig. 64. Kart over Hauglandsområdet (grunnlag: Økonomisk kart i målestokk 1 : 5000, som er forminsket til målestokk 1 : 10 000, ekvidistanse 25 m).

Former:

- ▽ Snitt
- ▬ Terrasseskråning/erosjonskant (generelt)
- ▬ Terrasseskråning/erosjonskant for 80 m-nivået
- | Ravinering i morene og rasmateriale

Materialtyper:

- △ Morenemateriale
- Rasmateriale
- ▨ Proglasiiale sedimenter, grus/sand, over marin grense
- Proglasiiale sedimenter, grus/sand, under marin grense
- ▩ Bart fjell
- ⊗ Skravert; sparsomt delte, evt. kombinasjoner.

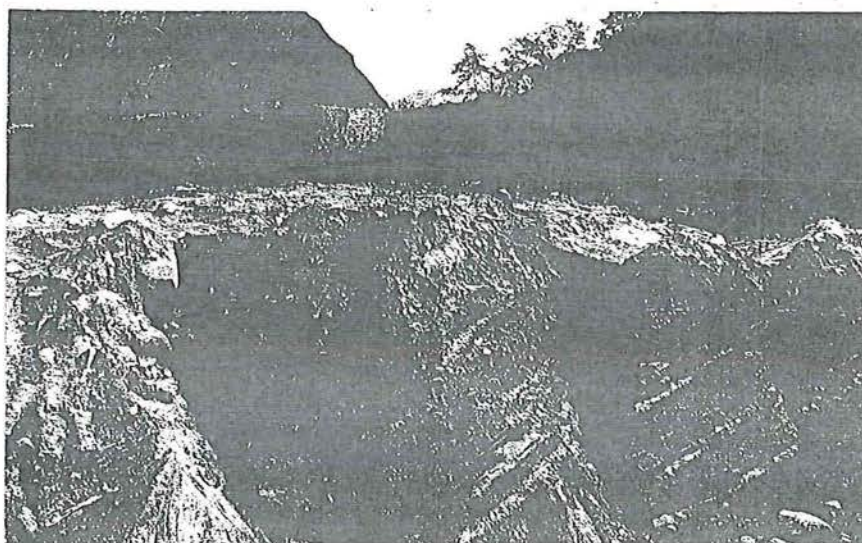


Fig. 65. Snitt i Børgsdalens vifte, sett mot sydøst. Lagene faller mot nord og består overveiende av grus/sand.

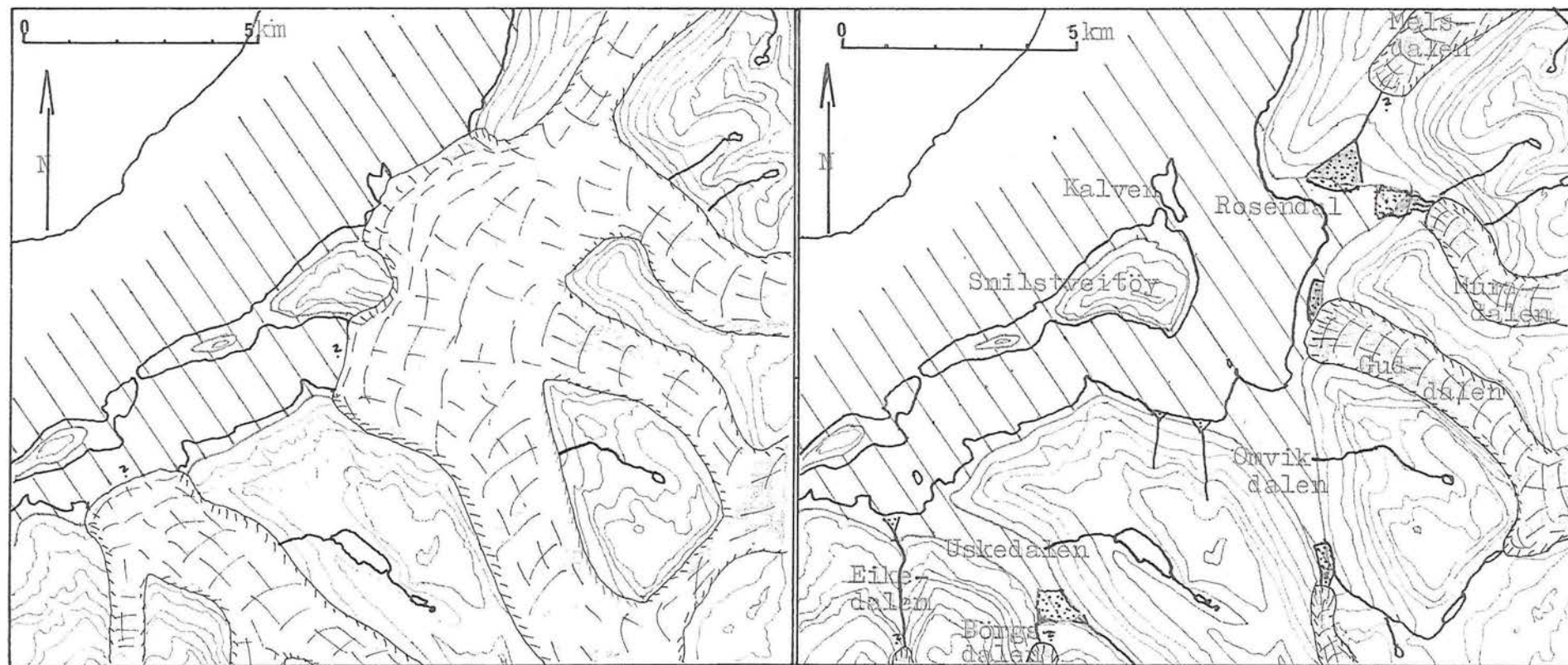


Fig. 66. Antatte stagnasjonstrinn under avsmeltningsforløpet i Hardangerfjordens sidedaler. Målestokk ca. 1 : 133 000, ekvidistanse 120m.

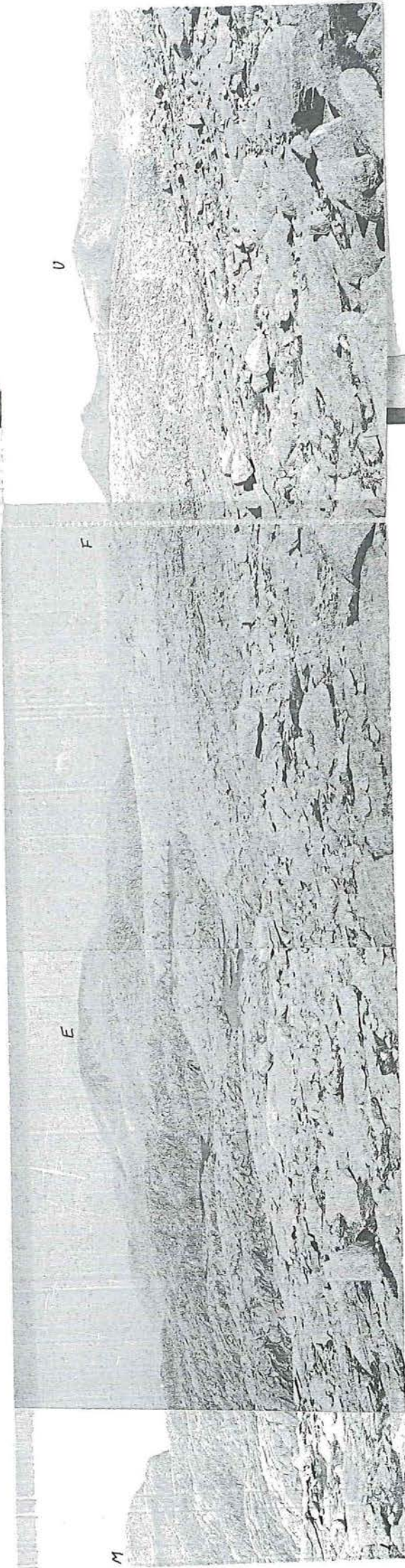
-  daværende submarine områder (nåværende kystlinje er også angitt)
-  proglasiale avsetninger, ikke iskontaktavsetninger (supra-marine)
-  iskontaktavsetninger



Fig. 67. Det sydvestligste fjellområdet sett fra nord. Fra venstre sees den 1200 m høye Ulvenoso (U). Så følger mot vest Børgsdalen (B), Englefjell (E) og Mannen (M). (Foto: Widerøe)



Fig. 68. Fjellområdet syd for Mannen (M) og Englefjell (E), sett fra Melkehaug mot N - Ö. Ulvenoso (U) og Folgefonna (F) sees til höyre. Helt til venstre er angitt randbeltet langs Hellandsdalens nord- og östside, som kan fölges opp til foten av Mannen, vest for Svartevatn (S).



rådet syd for Mannen (M) og Englefjell (E), sett fra Melkehaug  
Ø. Ulvenoso (U) og Folgefonna (F) sees til høyre. Helt til  
er angitt randbeltet langs Hellandsdalens nord- og østside, som  
ges opp til foten av Mannen, vest for Svartevatn (S).



Fig. 69. Lateralmorenen langs Hellandsdalens nordside, sett fra høyde 677 mot vest-sydvest. Distalsiden til høyre.



Fig. 70. Distalsiden av den 2-3m høye moreneryggen langs Valedalens nordside, sett mot sydøst.

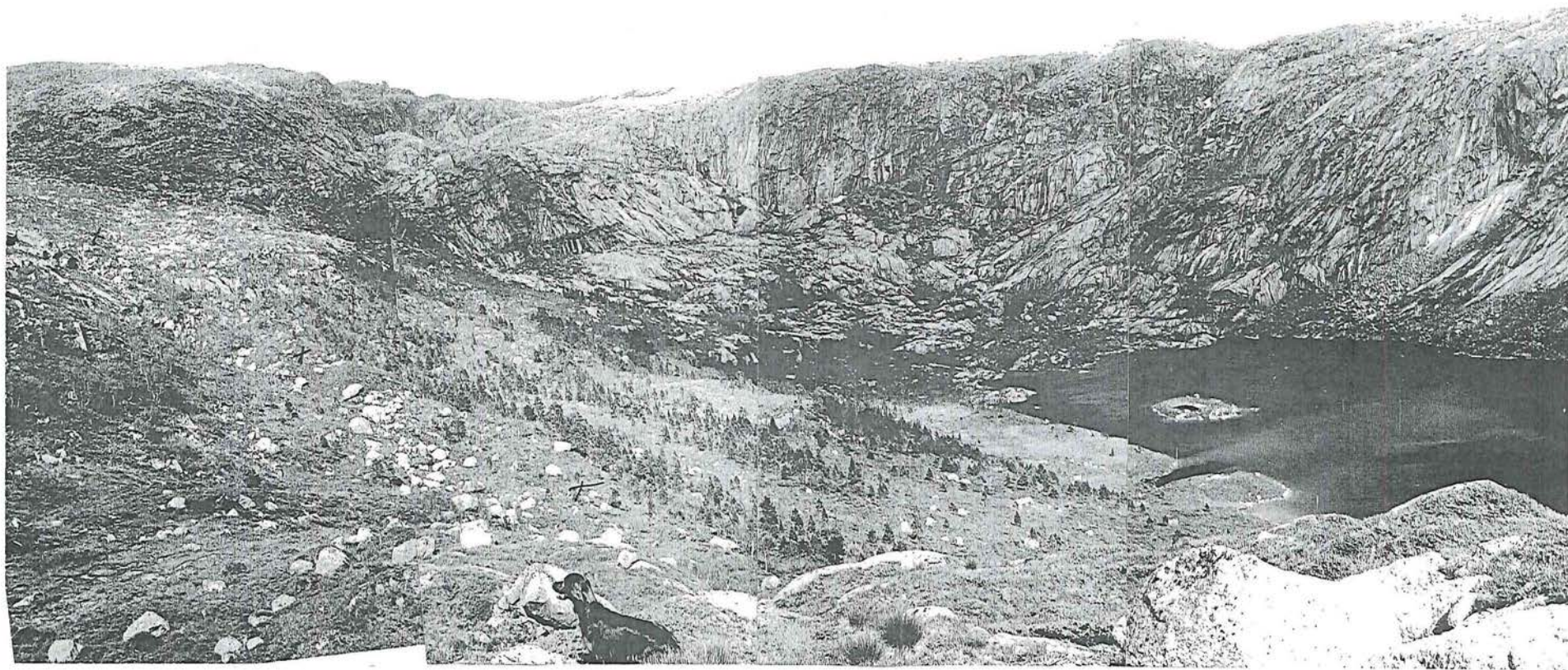


Fig. 71. Moreneryggen (x) öst för höjde 604, sett mot nordvest. Vale-  
vatn sees til høyre.



Fig. 72. Foto viser de to 3-7m høye lateralmorenene langs Børgsdalens østside, ca. 600 m o.h., sett fra distalsiden mot sydvest.



Fig. 73. Distalside av lateralmorenen like nord for høyde 365, sett mot vest.



Fig. 74. Endemorenen i passpunktet mot Tveitedalen, sett fra proksimalsiden mot syd.



Fig. 75. Lateralterrassen langs Bakkastolsvatnets østside (stiplet). Snitt i avsetningen ved 1 og 2.



Fig. 76. Snitt (1) i lateralterrassen. Under et øvre lag av grusholdig sand, sees godt sortert fin sand (ved spade).

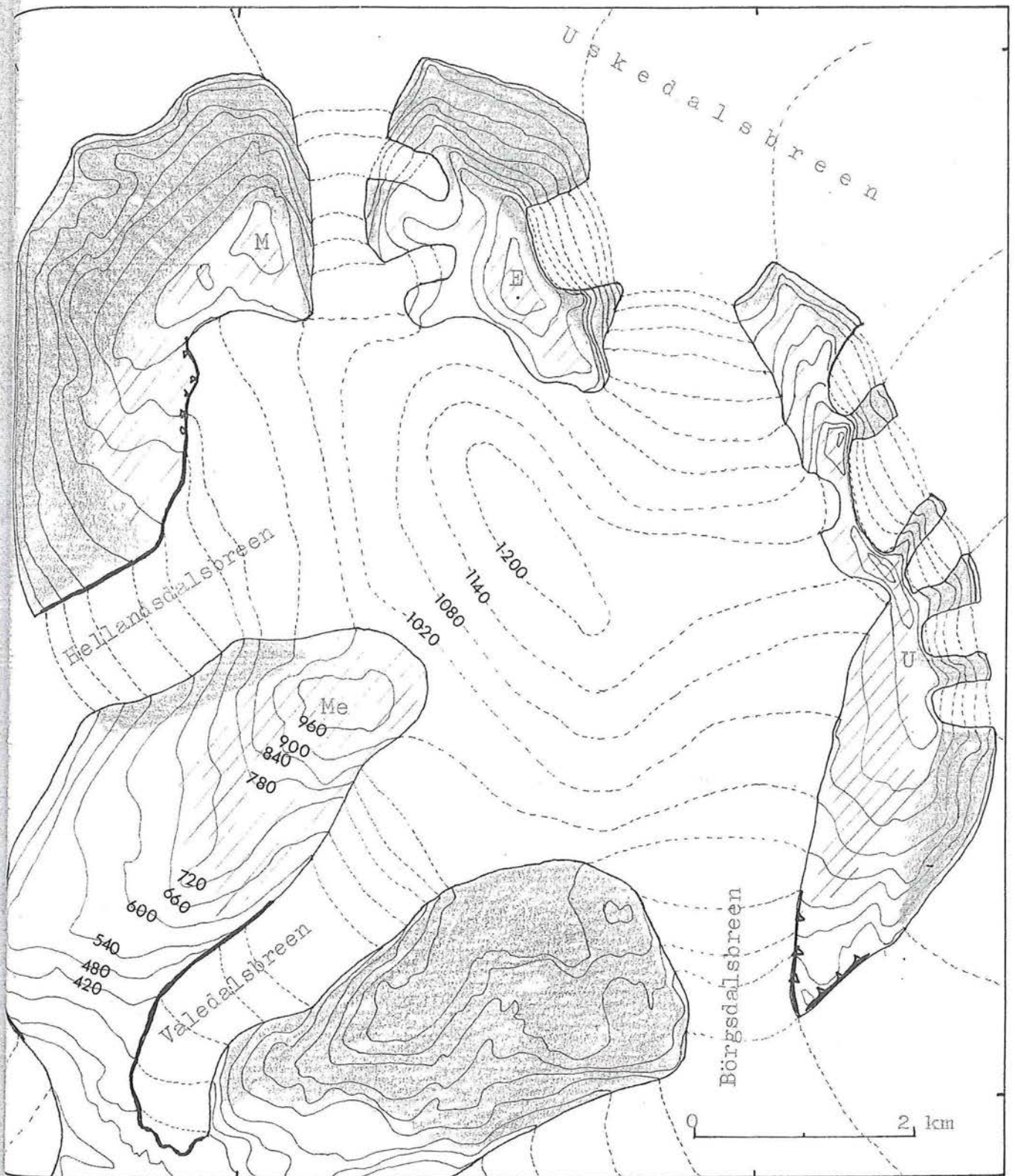


Fig. 77. Tentativ rekonstruksjon av bredekket i det syd-vestlige fjellområdet under fjordbrestadiene i Hardangerfjorden og i Matre-/Skånevikfjordene.

Lateralavsetninger: — rygg, — belte

▨ vittringsdekke    ■ bart fjell

Målestokk 1 : 50 000, ekvidistanse 60 m.

(M: Mannen, Me: Melkehaug, U: Ulvenoso, E: Englefjell)



Fig. 78. Den 3-4m høye distalsiden av blokkmorenen langs sydvestsiden av vatn 960 i St. Laurdal, sett mot øst.



Fig. 79. Melderskinsområdet sett mot sydøst. Piler viser randmorener ved Omnatjern (1) og Juklevatn (2). (Foto: Widerøe)

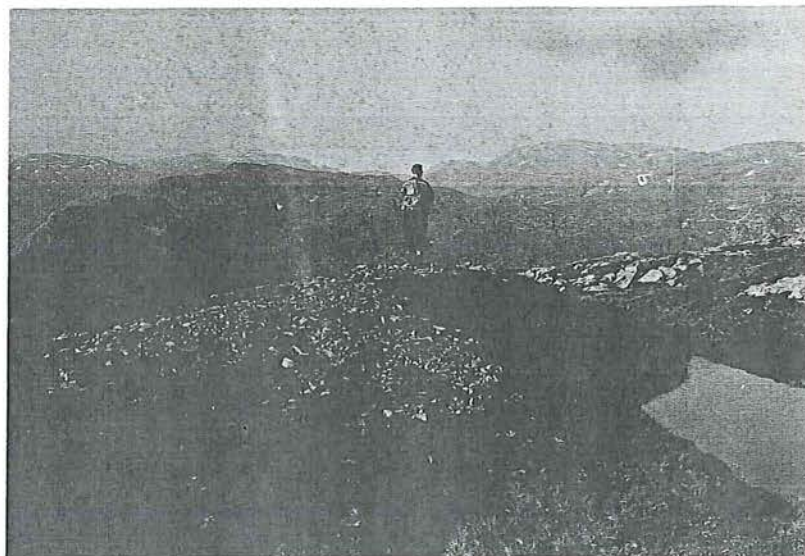


Fig. 80. Lateralmorenen langs Ingafjellets nordside,  
sett mot nordøst. Distalskråningen til høyre.

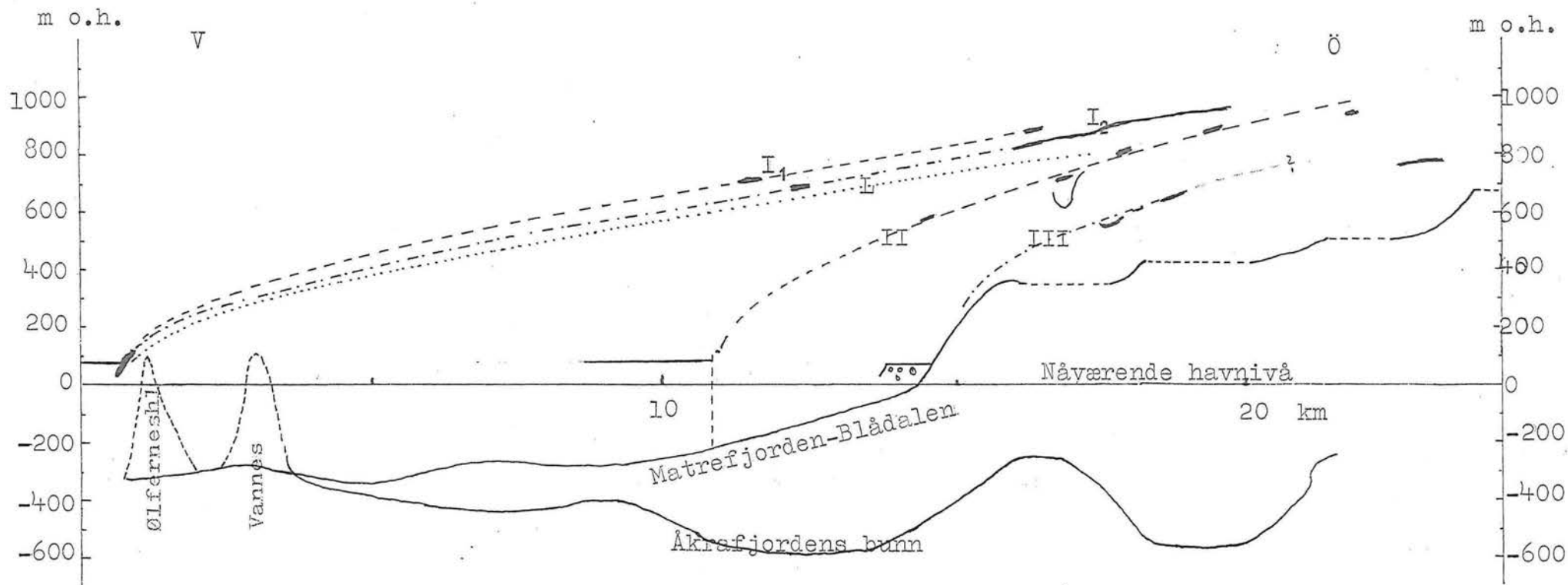


Fig. 81. Breprofiler (tykk strek angir randmorener):  
 I. Skånevikstadiet: 1. Åkrafjordbreen. 2. Matrefjord/Blådalsbreen.  
 II. Blådalstadiet  
 III. Yngre morener fra Fagnabotn til Hillersfjell (Blådalen).  
 De respektive stadiers havnivå er antydnet. Til sammenlikning er gjengitt lengdeprofilet av Lysefjordbreen etter Andersen (1954, s. 320) ("E").

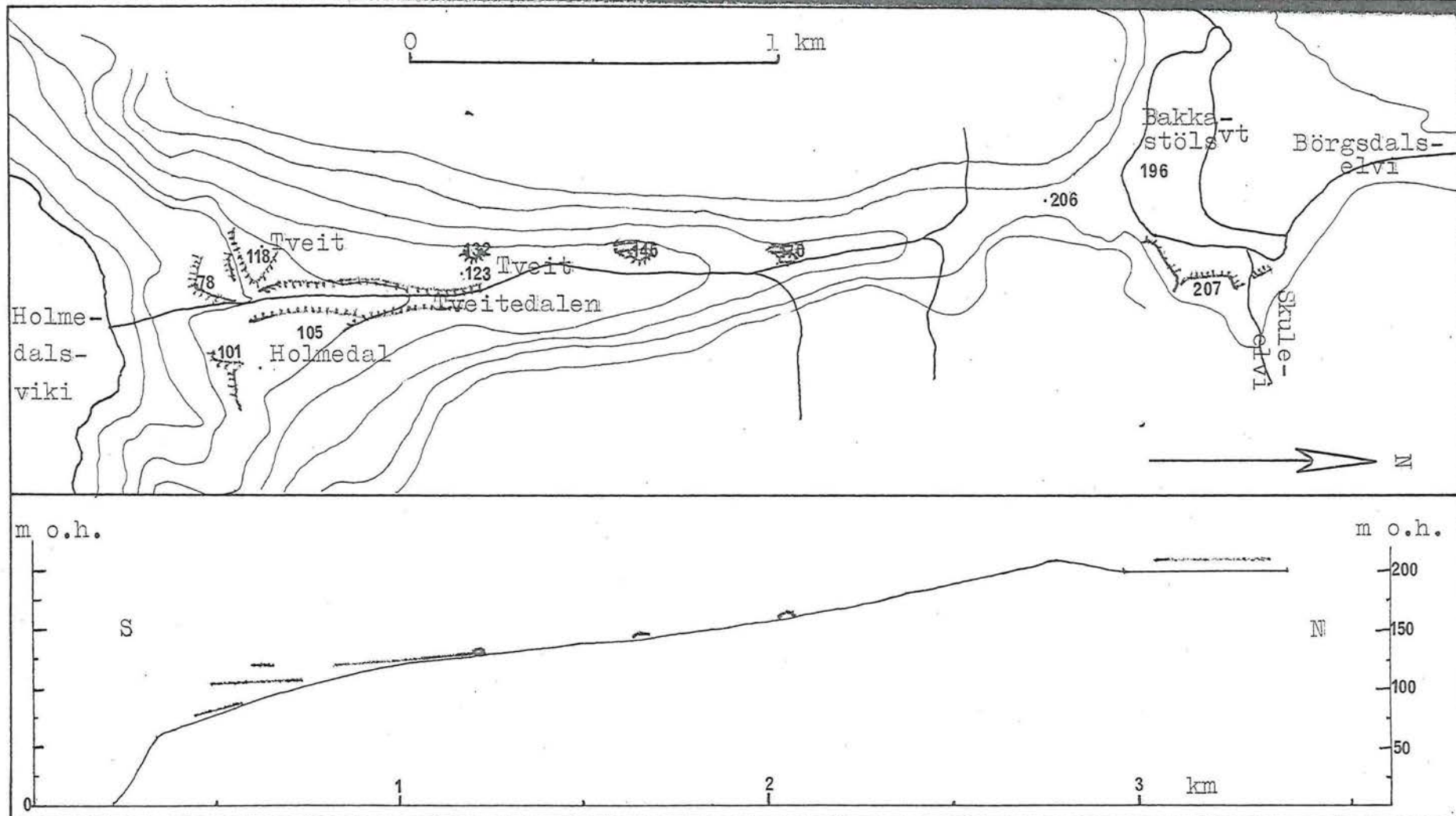


Fig. 82. Kart ( i målestokk ca. 1 : 16 000, ekvidistanse 30 m) og lengdeprofil av Tveitedalen.

- Terrasseskråning/erosjonskant (kart)
- Terrasseflater (profil)
- 118 Höydetall i m

1  
35  
1

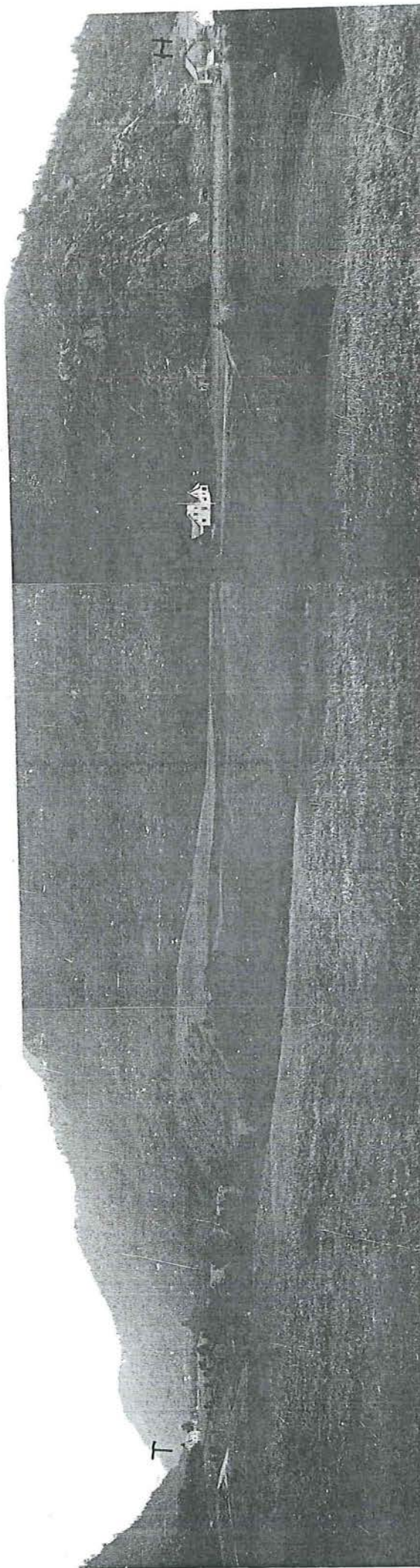


Fig. 83. Tveitedalen sett mot nord fra Tveit (118 m o.h.). H : Holmedal,  
T : Tveit (123 m o.h.).



Fig. 84. Endemorenen nord for Fjellandsvatn, sett mot N fra proksimalsiden.



Fig. 85. Snitt i ryg ens øvre parti, ca. 212 m o.h.

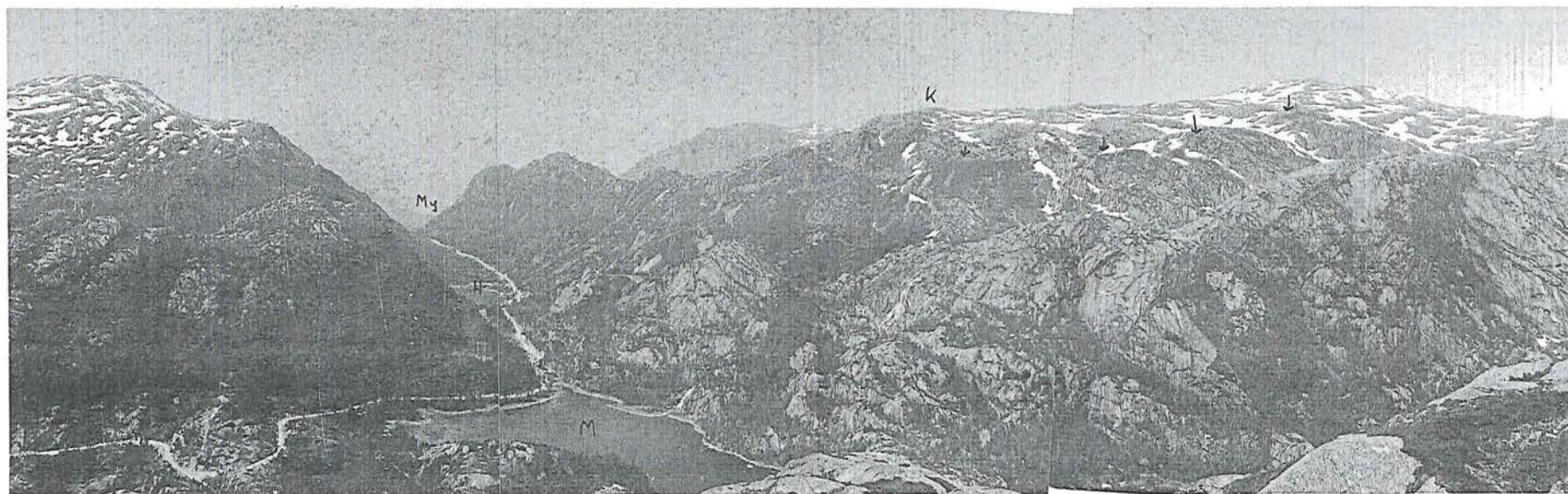


Fig. 86. Midthölen (M), Hölen (H) og Myklebustdalen (My) sett fra Blådalens sydside mot nordvest. Lateralmorenen langs sydsiden av Klamrhaug (K) er vist ved piler.

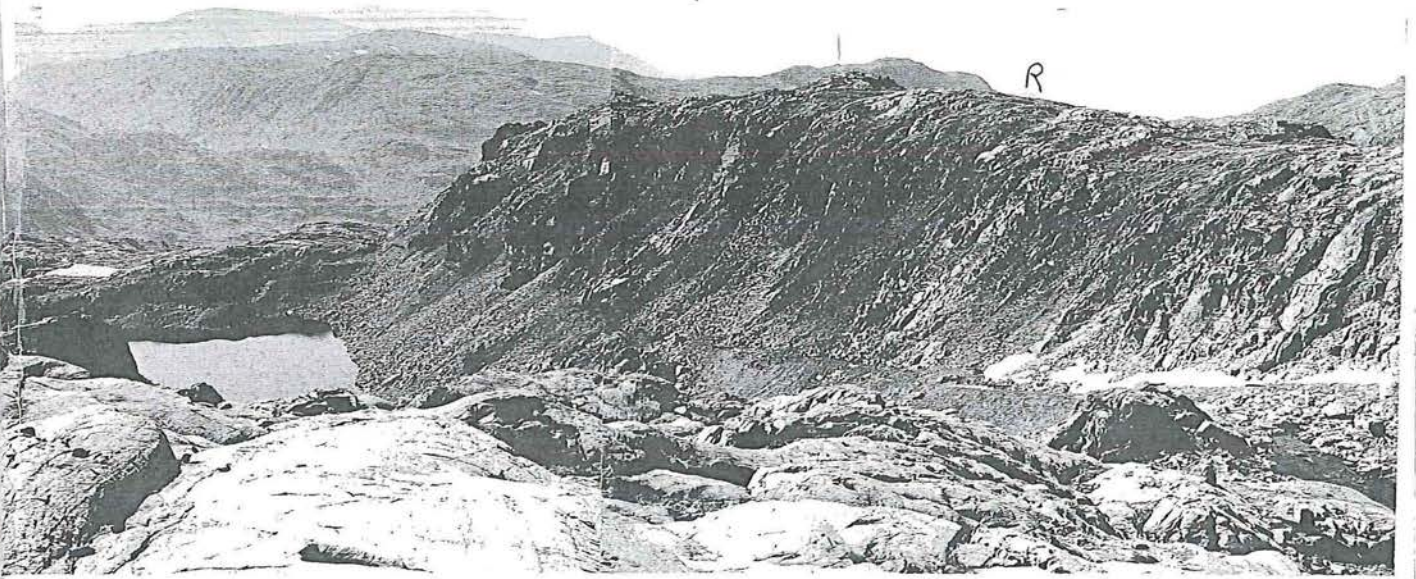


Fig. 87. Lateralmorenen langs Rindafjellets sydside, sett fra passpunktet mellom høyde 1153 og Rindafjellet (R) i retning vest.

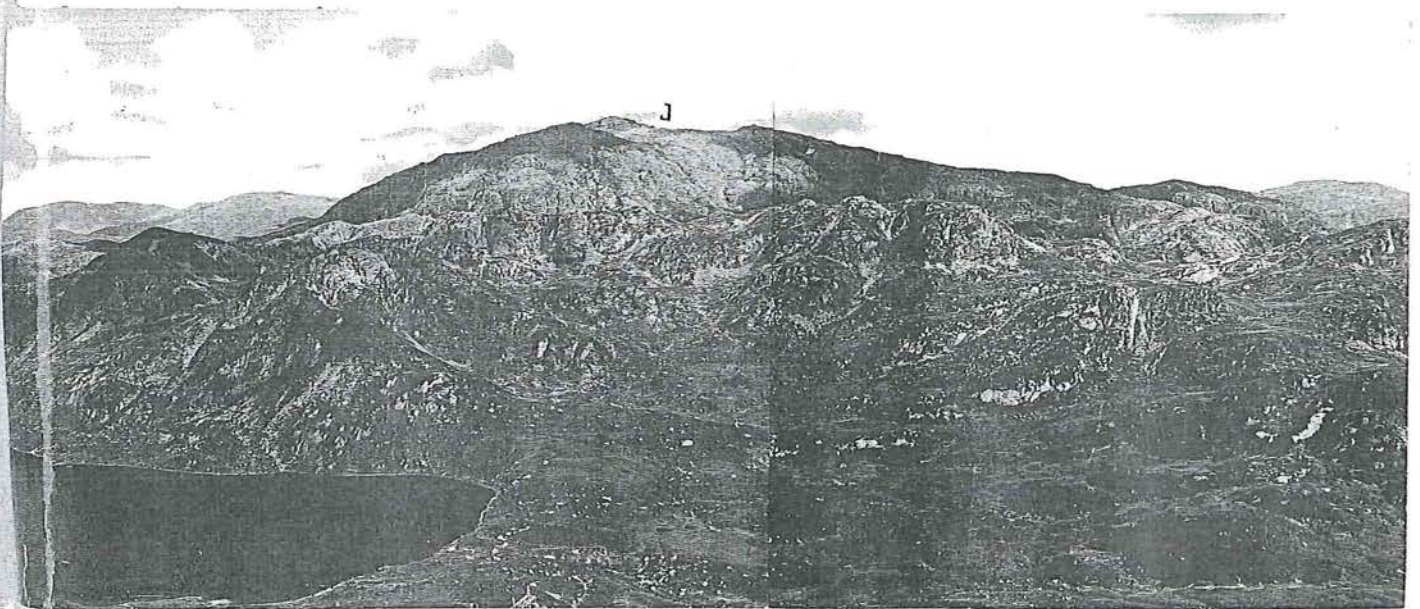


Fig. 88. Randmorenen langs østsiden av Futen og Børstølsvatn (B). Midt på bildet Ingafjell (I).



Fig. 89. Lateralmorenen over Futen, sett fra foten av Ingafjell mot vest.



Fig. 90. Randbeltet ved Åkrastølen, sett fra proksimal-siden mot sydøst.

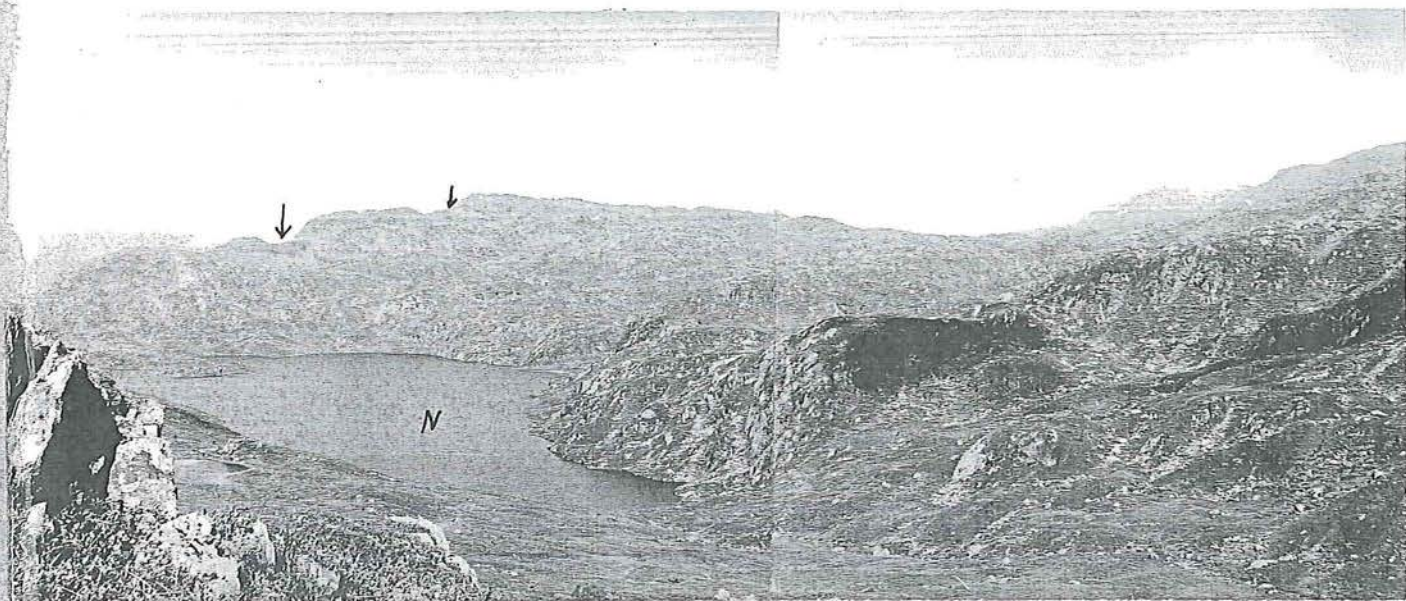


Fig. 91. Lateralmorener langs Hillersfjellets sydside (piler). Nesjastølsvatn sees i forgrunnen.

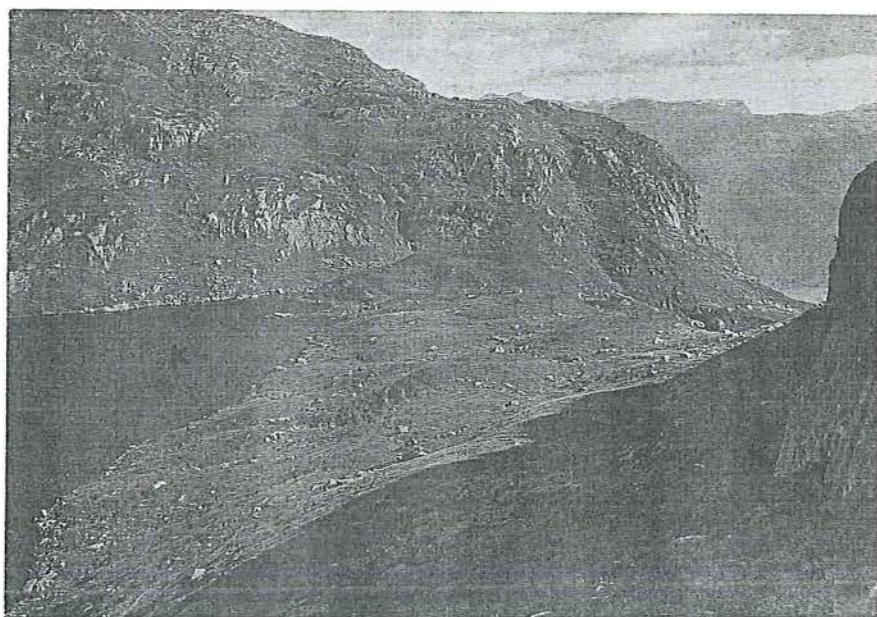


Fig. 92. Randbeltet i sydenden av Kvandalsvatn, sett mot sydøst.

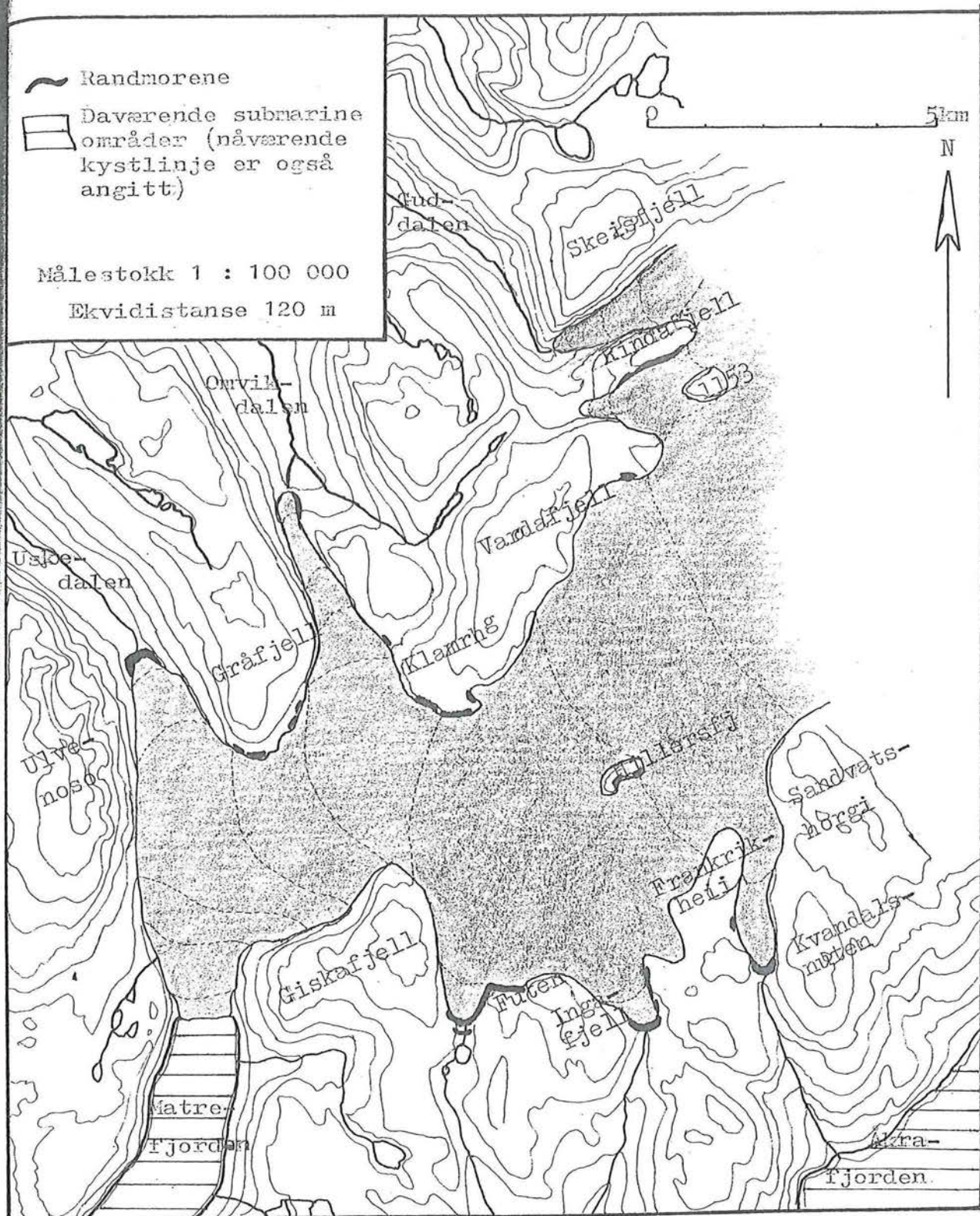


Fig. 93. Rekonstruksjon av breoverflaten i Blådalsområdet under Blådals stadiet.



Fig. 94. Blokkmo-  
rene avsatt fra Blå-  
dalen, ca. 1 km nord  
for Fagnabotn. Bil-  
det viser proksimal-  
side.



Fig. 95. Søndre del  
av 81 m-terrassen ved  
Indre Matre, hvis be-  
grensning er antydnet  
ved stipling. Den  
nordre del av terrassen  
ligger utenfor bildet  
(til høyre for fjell-  
partiet bak husene).  
Foto tatt mot syd.



Fig. 96. Snitt i 81  
m-terrassen nord for  
Åsen, ved Indre Matre,  
sett mot øst.

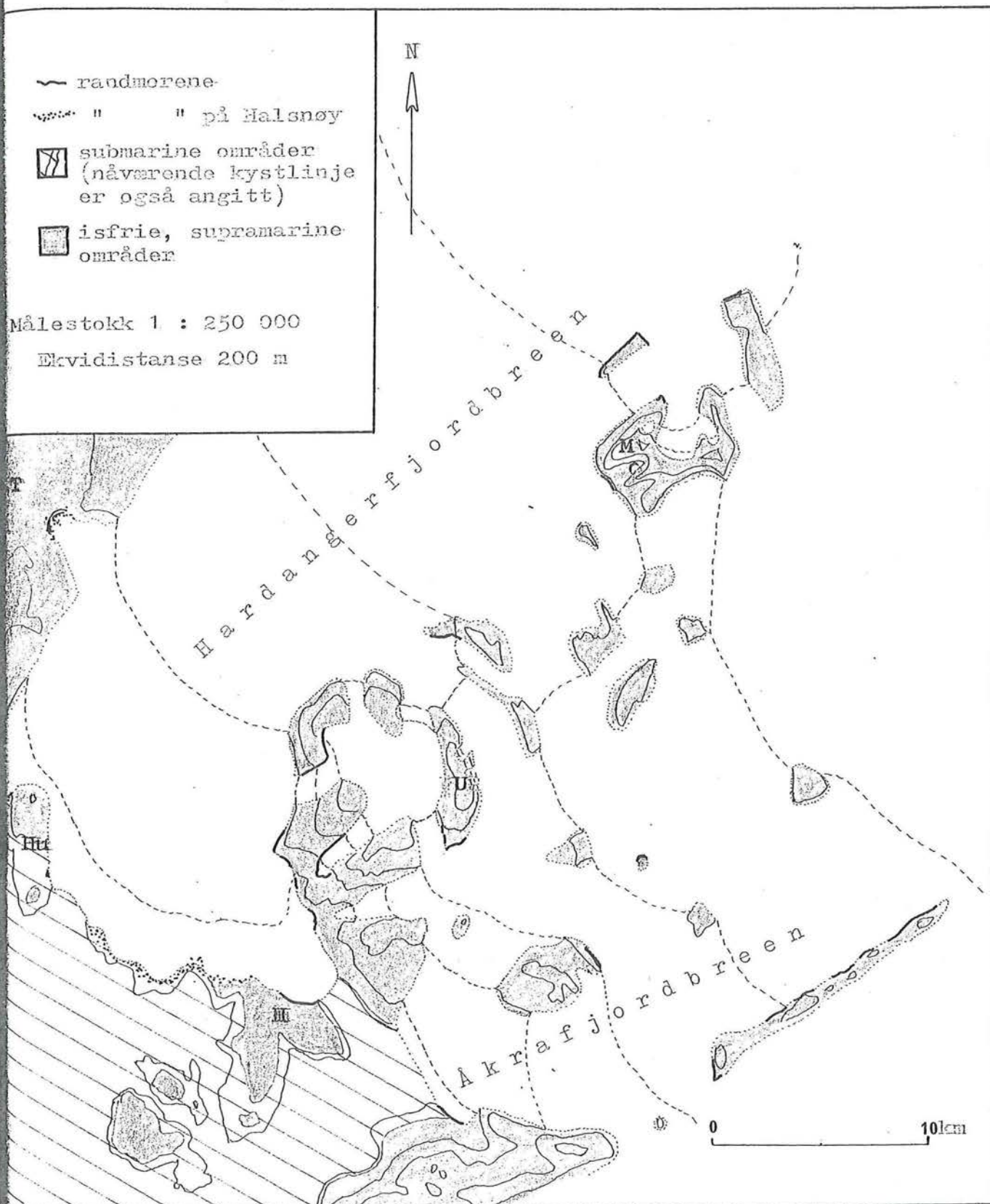


Fig. 97. Tentativ rekonstruksjon av fjordbrestadiet. Fra Halsnøy, over Huglo til Tysnes er randlinjen inn-tegnet etter Undås (1963) og H. Holtedahl (1967), mens rekonstruksjonen for Akrafjordens sydside bygger på data fra Rekstad (1908) og Anundsen (pers. medd.).

M: Melderskin      U: Ulvenoso      H: Halsnøy  
Hu: Huglo          T: Tysnes

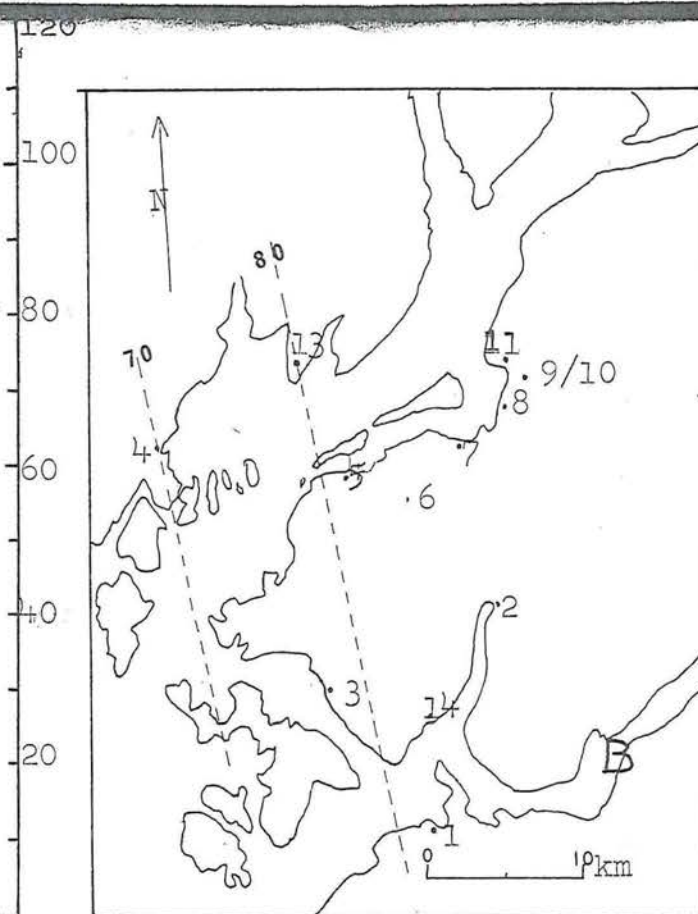
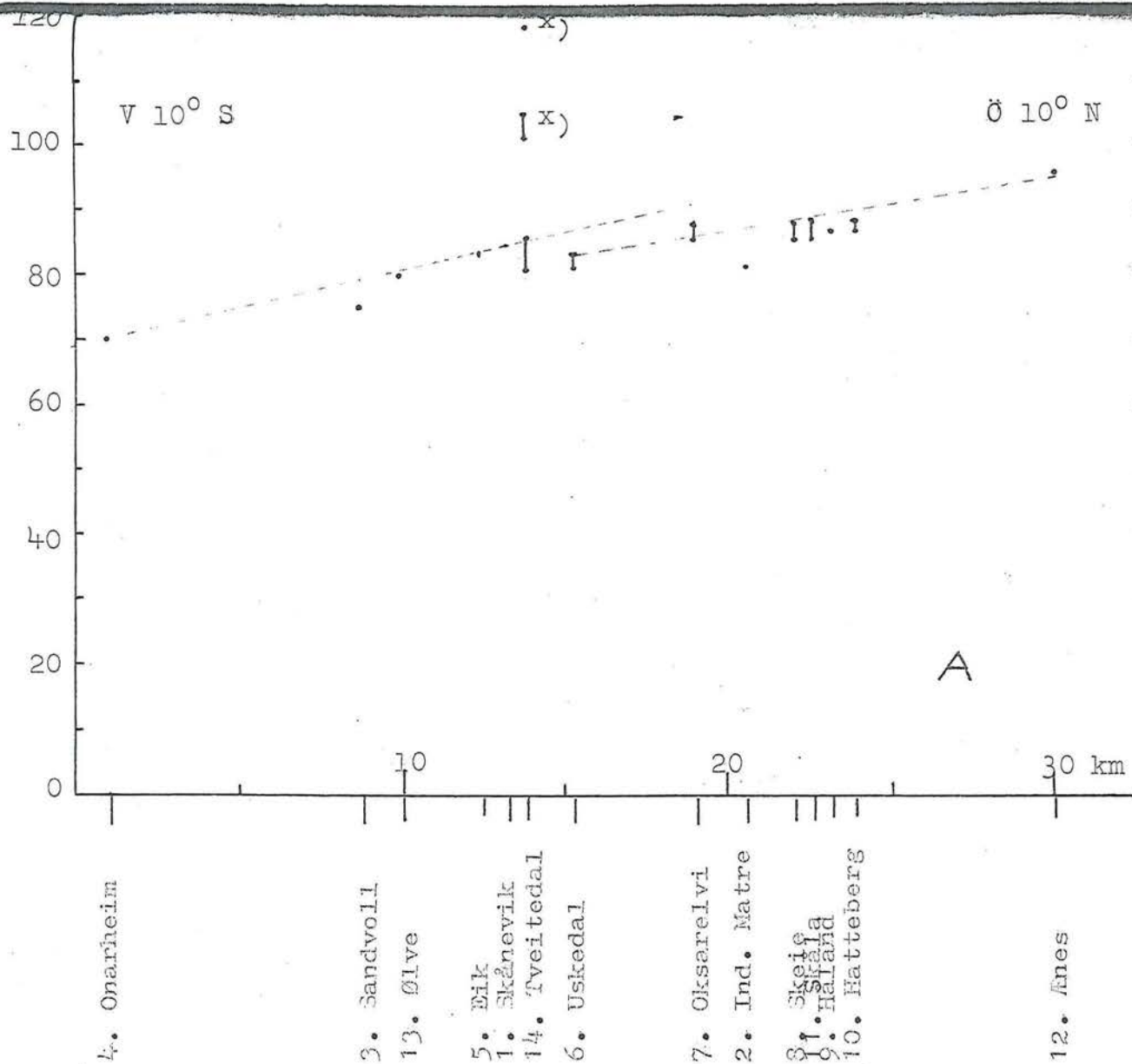


Fig. 98. A: Ekwidistant strandlinjediagram. I noen tilfeller er både øvre og undre kant av vedkommende avsetning markert (•), ellers bare øvre kant (•). x) bresjøterrasser i Tveitedalen.

B: Isobaser (tentativt) for fjordbrestadiets slutfase. Lokalitetsnumrene refererer seg til fig. 99 A.

PLANSJE 1. EVANTERMOLOGISKE KART OVER DEN SV-LIGE DEL AV FOLGEFONNHALVØYA.

Materialtyper:

-  Borenelementer (storeblokkig) (normalelementer)
-  Iskonkaktsedimenter
-  Havvleiringer, herunder proglasiar submarine avsetninger
-  Elveavsetninger, herunder proglasiar supracaric avsetninger
-  Periglasiaravsetninger (in situ som talus)
-  Torv og lynchumus
-  Rart fjell
-  Sparsomt dekke, evt. i kombinasjoner

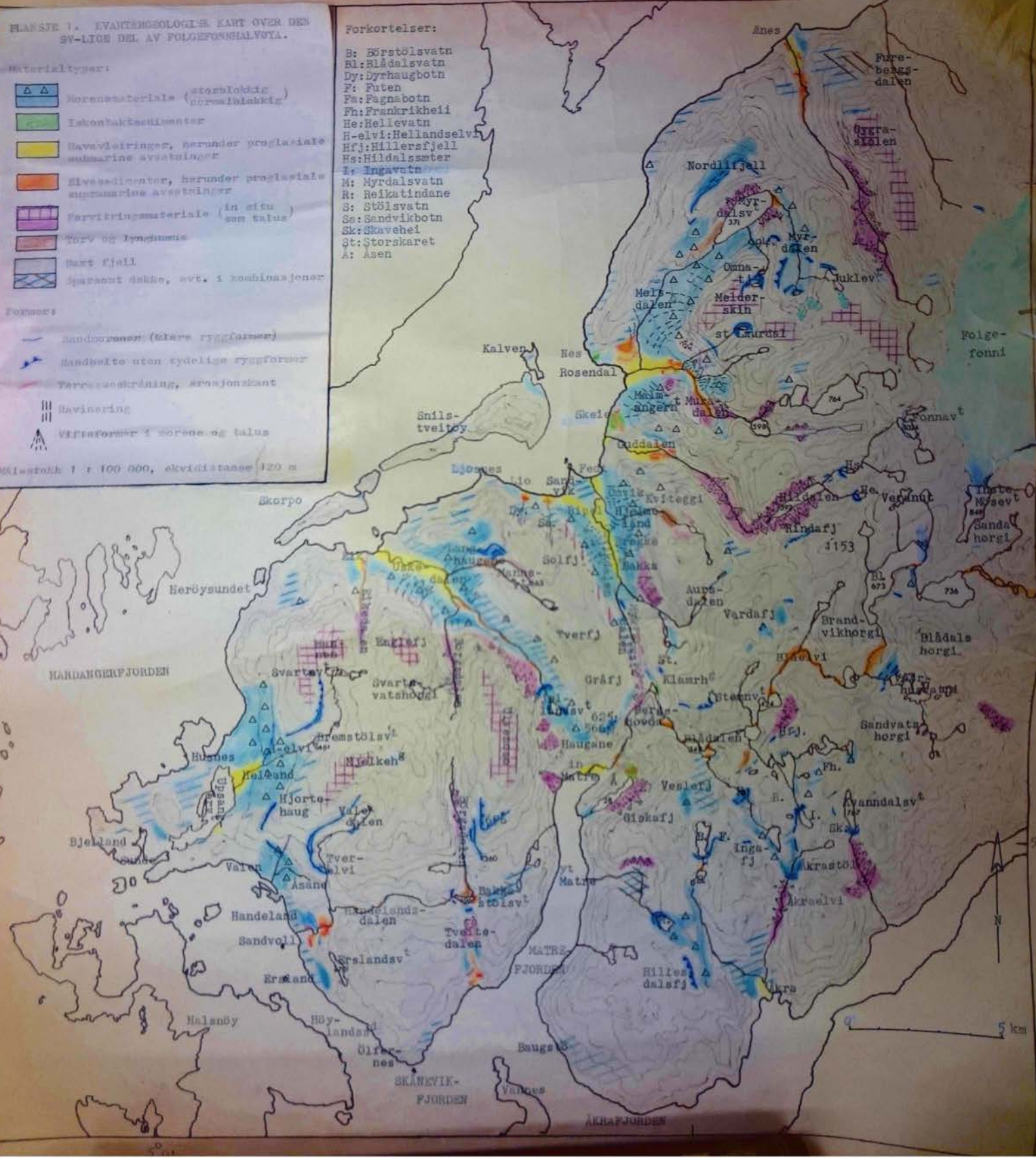
Formers:

-  Sandoverener (blare ryggformer)
-  Sandsete uten tydelige ryggformer
-  Terrassestråning, srossjonskant
-  Ravinering
-  Vættformer i borene og talus

Målestokk 1 : 100 000, skvidistans 120 m

Forkortelser:

- B: Børstølsvatn
- Bl: Blådalsvatn
- Dy: Dyrhaugbotn
- F: Futen
- Fa: Fagnabotn
- Fh: Frankrikheii
- He: Hellevatn
- H-elvi: Hellelandselvi
- Hfj: Hillersfjell
- Hs: Hildalssæter
- I: Ingavatn
- M: Myrdalsvatn
- R: Reikatindane
- S: Stølsvatn
- Ss: Sandvikbotn
- Sk: Skavehei
- St: Storskaret
- A: Asen



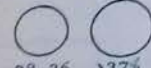
Plansje 2. Lesavsetningenes tungmineralinnhold i fraksjonene 125 $\mu$ y og 63 $\mu$ y (middelverdien).

- morenemateriale
- glasifluvialt materiale
- fluvialt materiale

Berggrunn:

-  gabbro
-  ikke gabbro

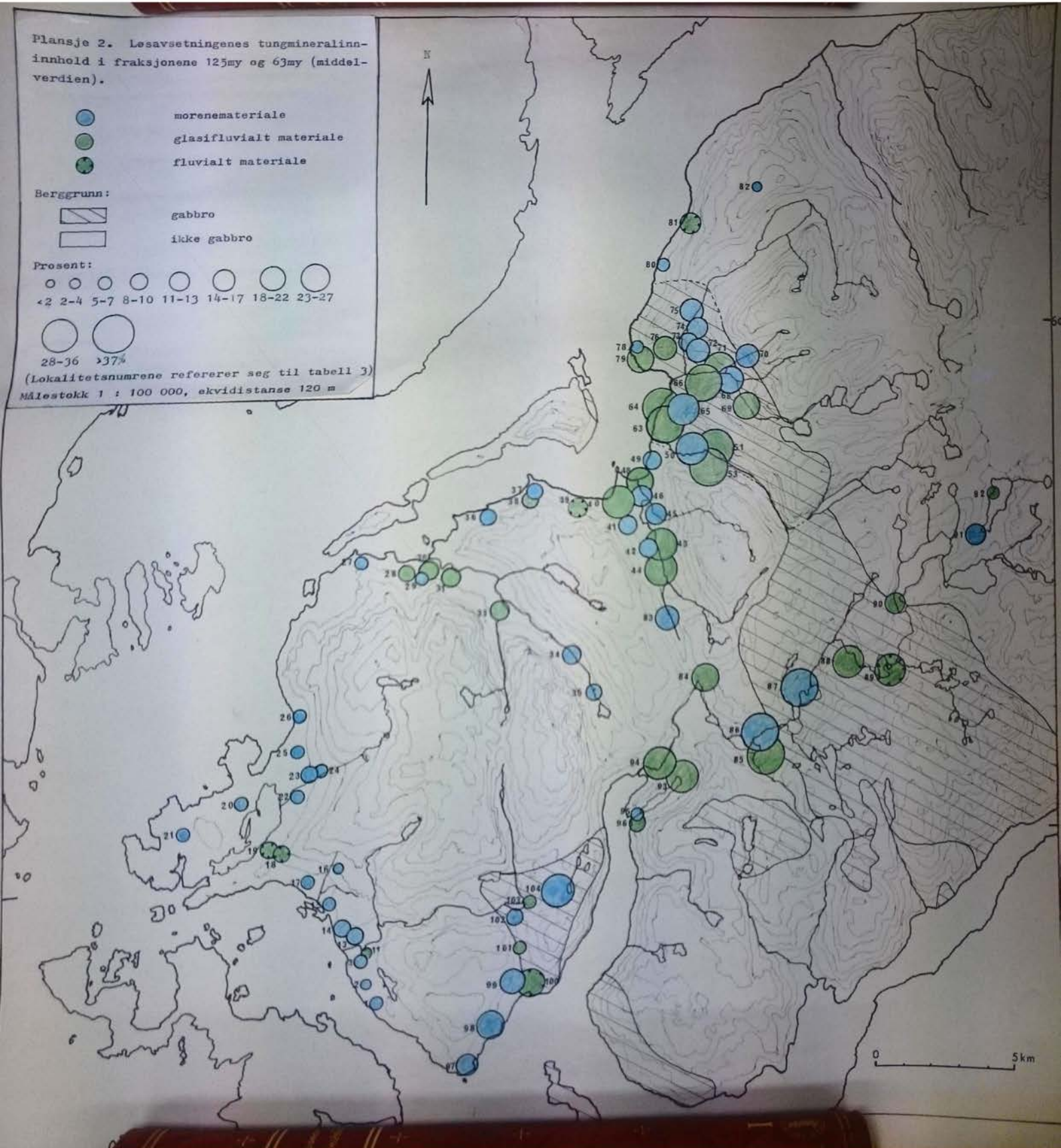
Prosent:

-  <2
-  2-4
-  5-7
-  8-10
-  11-13
-  14-17
-  18-22
-  23-27
-  28-36
-  >37%

(Lokalitetsnumrene refererer seg til tabell 3)

Målestokk 1 : 100 000, ekvidistanse 120 m

N

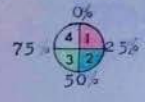


Plansje 3. Steinfraksjonens sammensetning (32-44mm) i:

-  morenemateriale
-  glasifluvialt materiale
-  fluvialt materiale

Gruppering:

1. Granitt-granodioritt.
2. Gabbro.
3. Glimmerskifer.
4. Ubestemt.

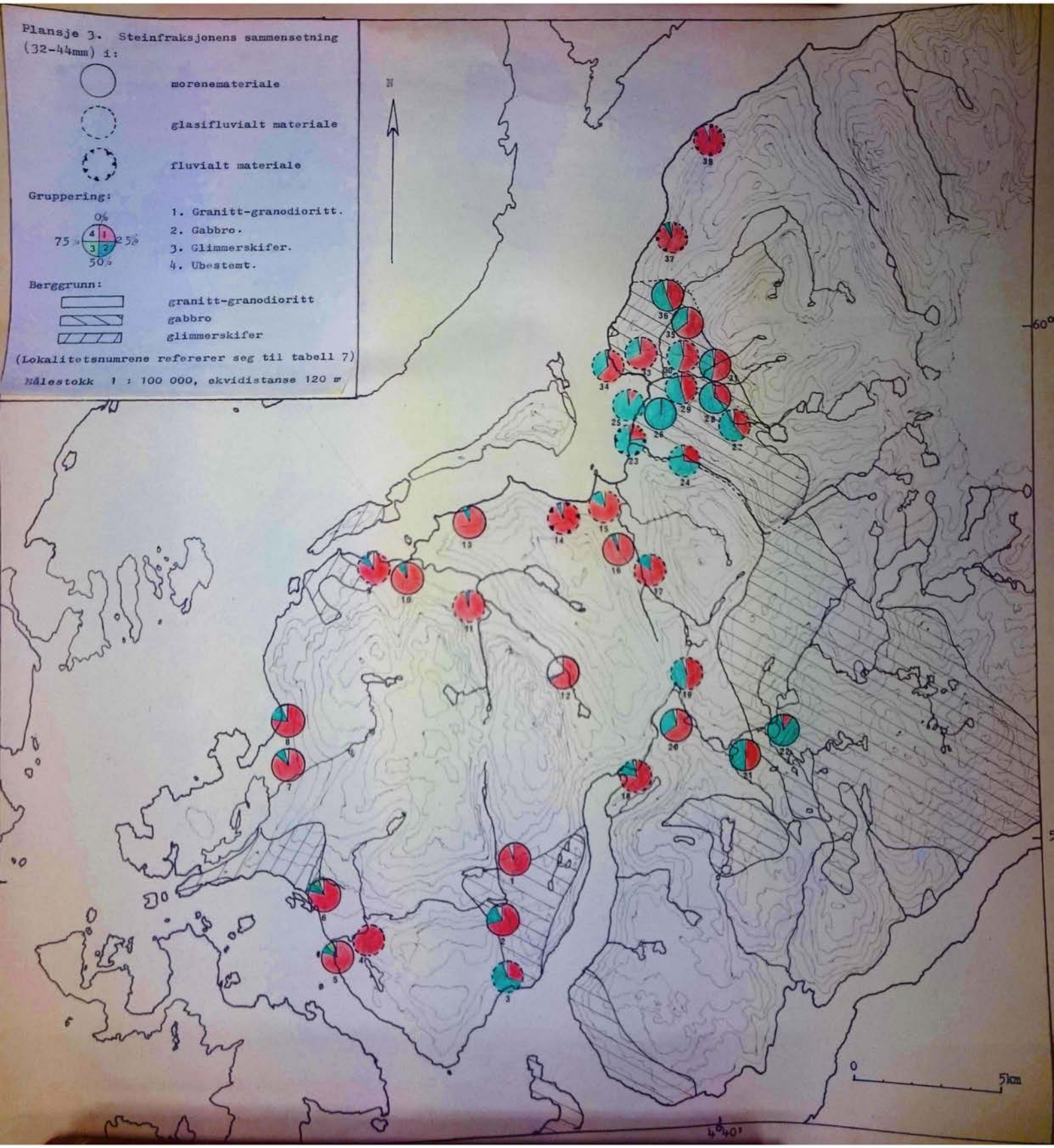


Berggrunn:

-  granitt-granodioritt
-  gabbro
-  glimmerskifer

(Lokalitetsnumrene refererer seg til tabell 7)

Målestokk 1 : 100 000, ekvidistanse 120 m



PLANSJE 4. SKURINGSKART.

-  yngst  
eldre  
eldst
-  Retning ikke bestemt på lokalitet
-  Plastisk skuring etter H. Holtedahl (1967)
-  Isskuring etter Bøe (1949) og Risan (1950)



Målestokk 1 : 100 000

Ekvidistanse 120 m

